THERMOCHRONOLOGIE QUANTITATIVE

XAVIER ROBERT

XAVIER.ROBERTO1@GMAIL.COM

UQAM 03/02/2011

THERMOCHRONOLOGIE: DÉFINITION

 Datation pour une roche du passage à une température dite température de fermeture, spécifique d'un système donné

OUTLINE

- (1) Qu'est-ce que la thermochronologie?
 - a. Notions de géochronologie
 - b. Concept de Température de fermeture
 - c. Concept de zone de rétention partielle
- (2) Les grands systèmes thermochronologiques
 - a. 40Ar/39Ar
 - b. (U-Th)/He
 - c. Traces de fission
- (3) Quantification?

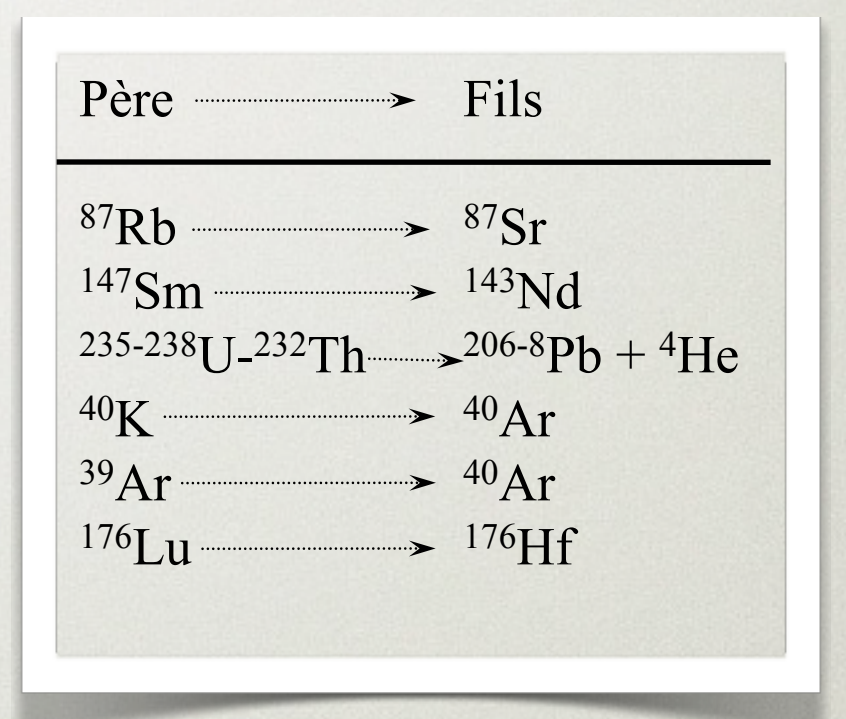
NOTIONS DE GÉOCHRONOLOGIE

RAPPELS DE GÉOCHRONOLOGIE

 Datations «absolues» grâce à la radioactivité naturelle

$$N_d = N_{d_0} + N_p(e^{\lambda t} - 1)$$

- ullet N_d Quantité de l'élément fils à t
- $oldsymbol{N}_{d_0}$ Quantité initiale de l'élément fils t=0
- N_P Quantité d'élément père
- λ Constante de désintégration

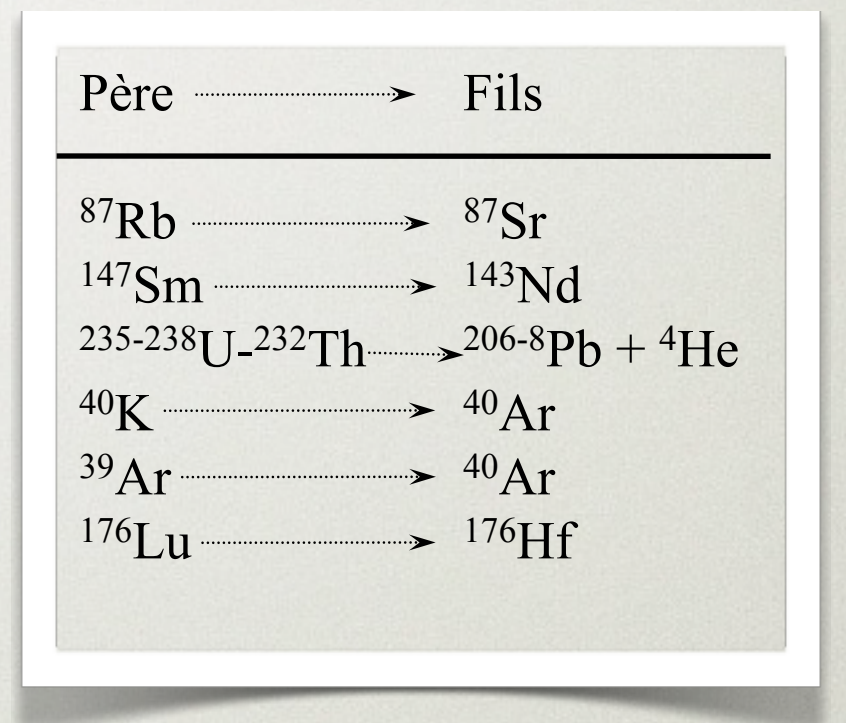


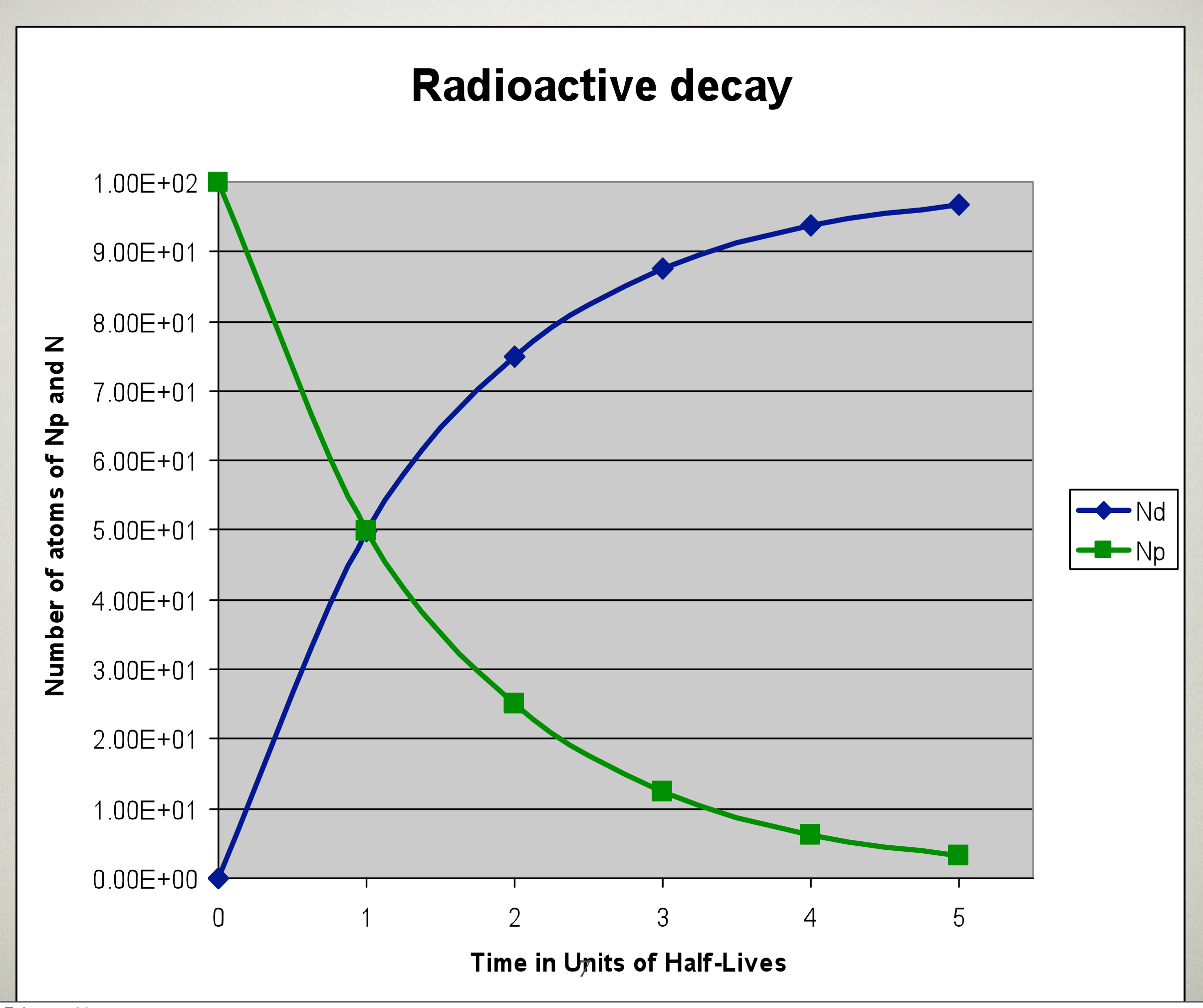
RAPPELS DE GÉOCHRONOLOGIE

 Datations «absolues» grâce à la radioactivité naturelle

$$t = \frac{1}{\lambda} \ln\left[\frac{N_d - N_{dO}}{N_p} + 1\right]$$

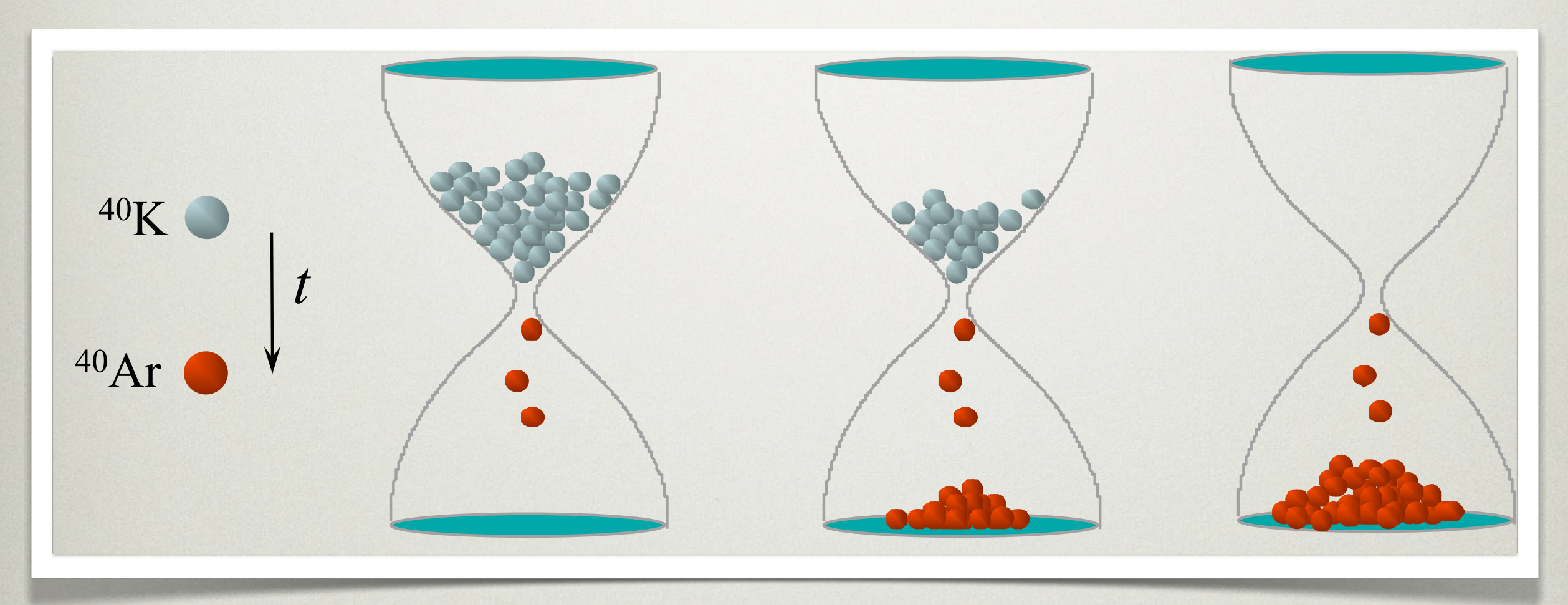
- ullet N_d Quantité de l'élément fils à t
- $oldsymbol{N}_{d_0}$ Quantité initiale de l'élément fils t=0
- ullet N_P Quantité d'élément père
- ullet λ Constante de désintégration





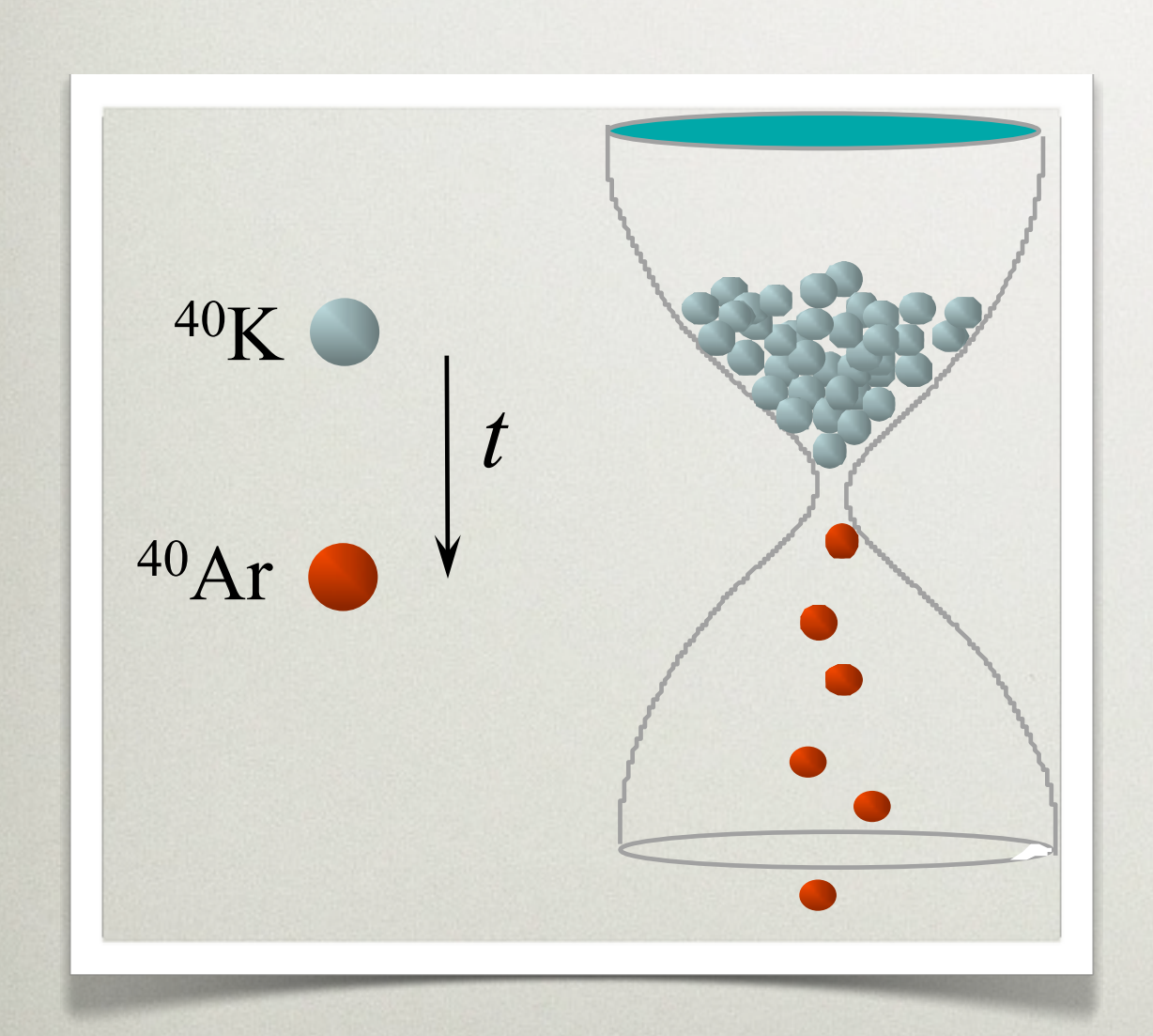
CONCEPT DE TEMPÉRATURE DE FERMETURE

• Décroissance radioactive en milieu fermé



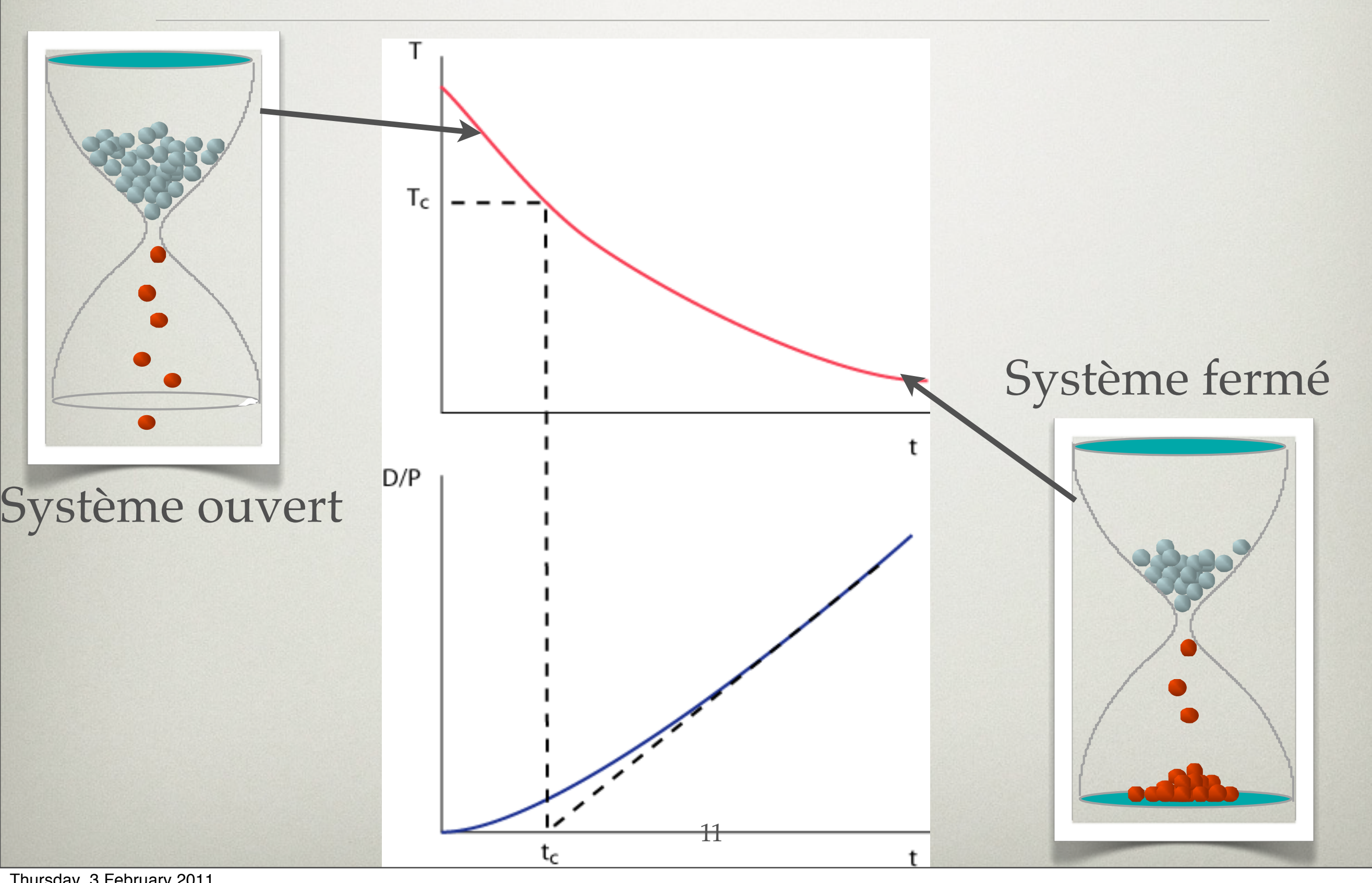
L'élément fils est entièrement préservé dans le réseau minéral « hôte » : A chaque instant (x) la quantité d'élément produit est fonction du temps écoulé et de la quantité initiale

• Décroissance radioactive en milieu ouvert

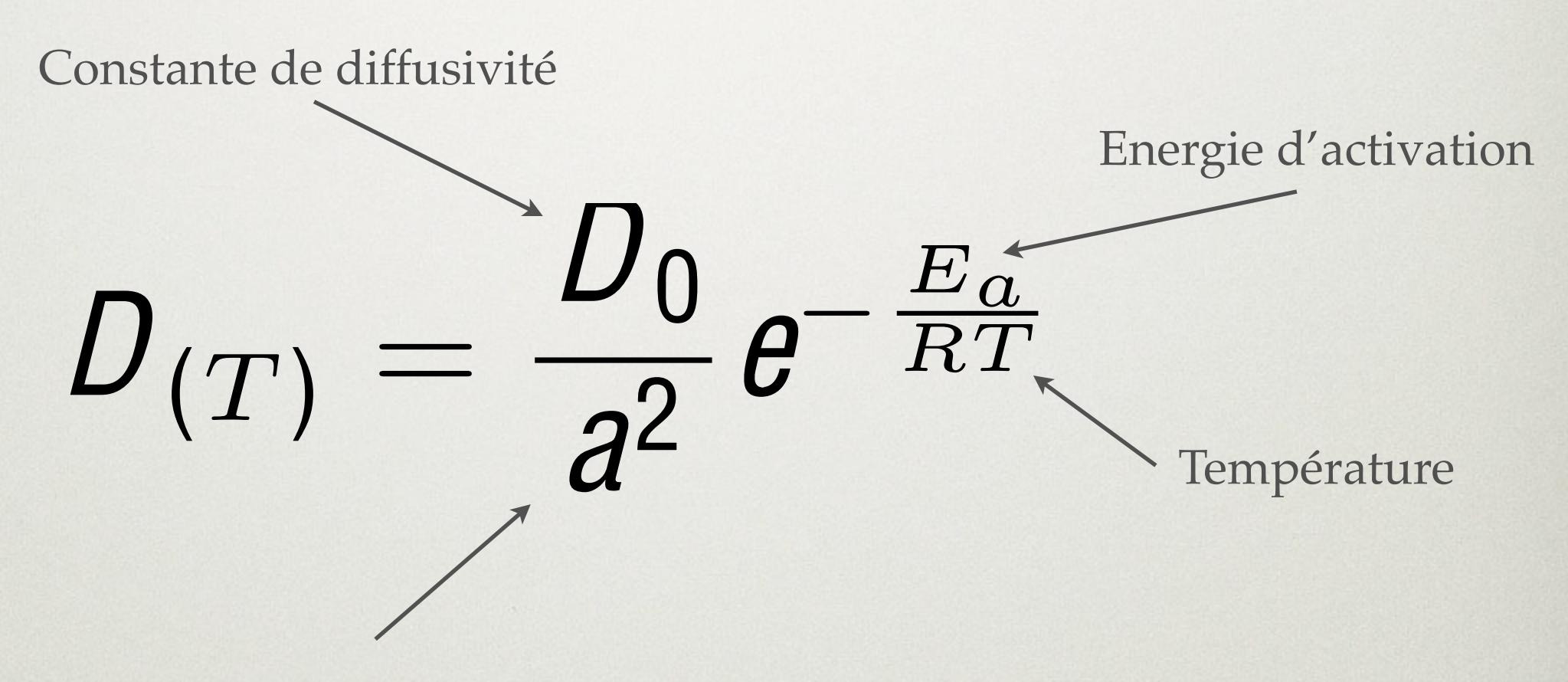


L'élément fils produit diffuse en continu...

==> PAS de datations possibles!

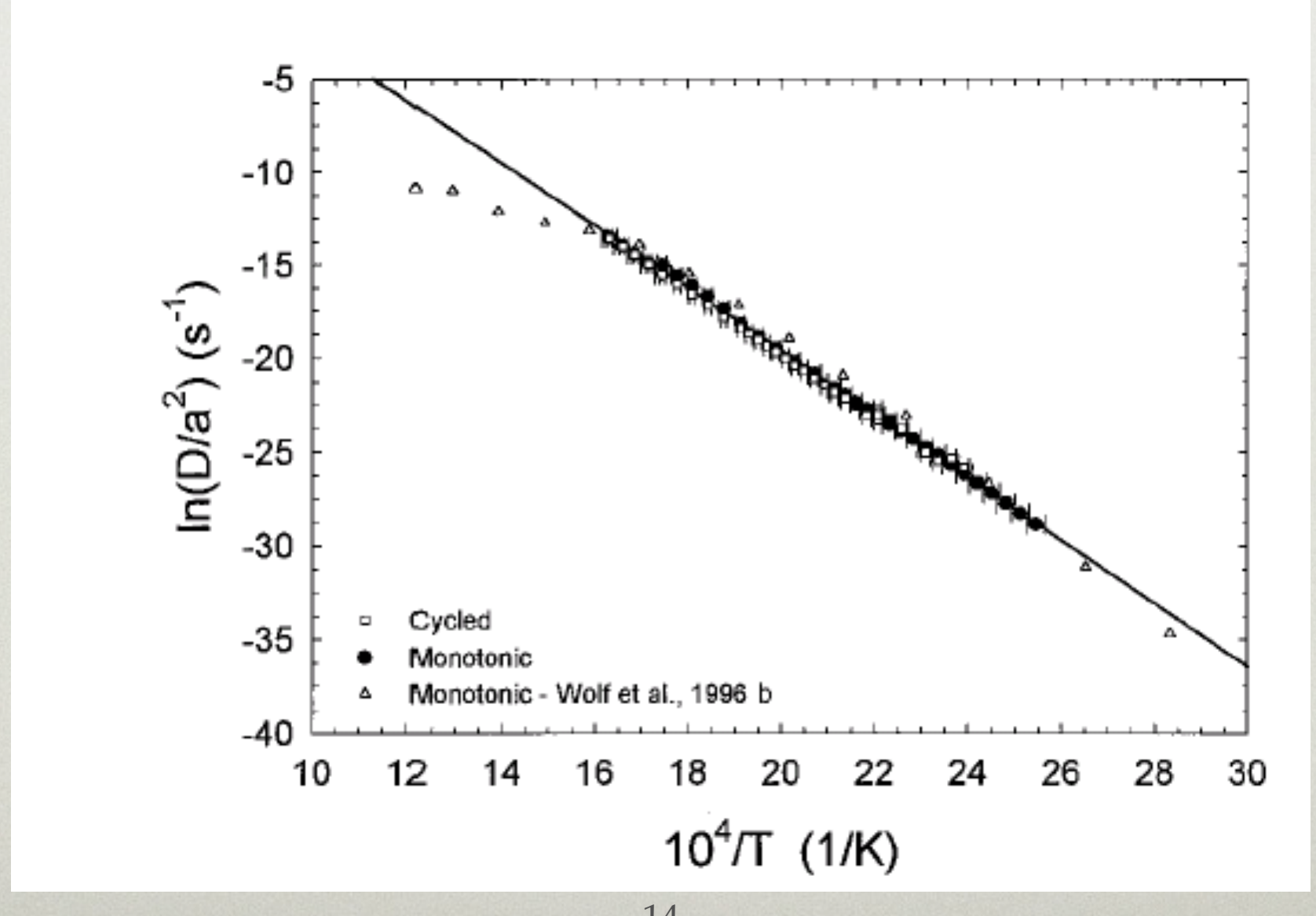


Concentration du fils Production $\frac{\partial N_d}{\partial t} = D_{(T)} \nabla^2 N_d + P$ $D_{(T)} = \frac{D_0}{a^2} e^{-\frac{E_a}{RT}}$

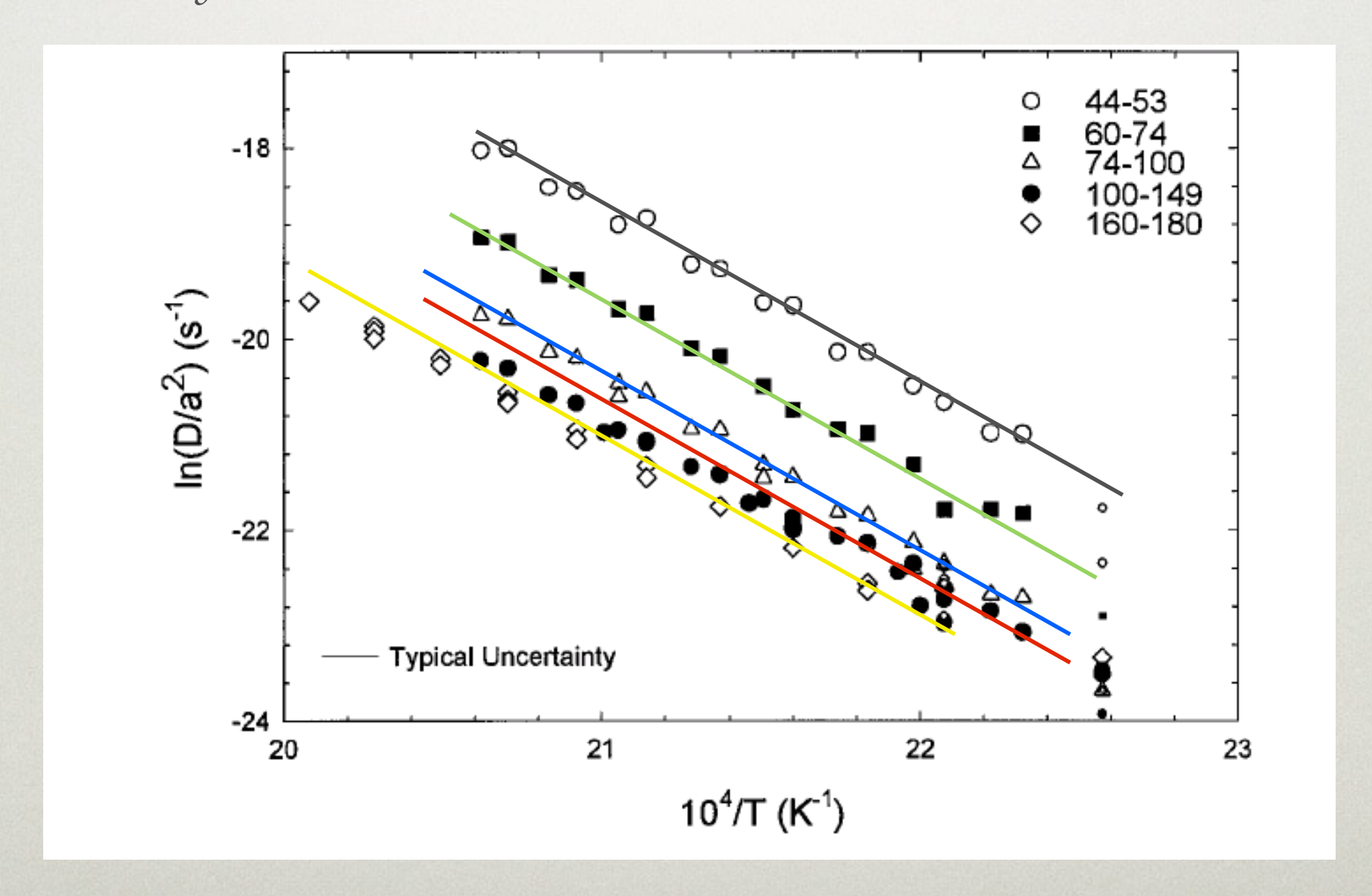


Taille du domaine de diffusion (= taille du grain)

- Expériences pour déterminer les paramètres de diffusion (D0, a, Ea)
- Ex = Farley, 2000



- Dépendance de la taille des grains
- Ex = Farley, 2000



$$D_{(T)} = \frac{D_0}{a^2} e^{-\frac{E_a}{RT}}$$

$$D_{(T)} = \frac{D_0}{a^2} e^{-\frac{E_a}{RT}}$$

• Si le refroidissement est monotone et continu,

$$D_{(T)} = \frac{D_0}{a^2} e^{-\frac{E_a}{RT}}$$

• Si le refroidissement est monotone et continu, $T_{(t)} \sim 1/t$

$$D_{(T)} = \frac{D_0}{a^2} e^{-\frac{E_a}{RT}}$$

• Si le refroidissement est monotone et continu, $T_{(t)} \sim 1/t$

$$D_{(T)} = D_0 e^{-1/\tau}$$

$$D_{(T)} = \frac{D_0}{a^2} e^{-\frac{E_a}{RT}}$$

ullet Si le refroidissement est monotone et continu, T

$$T_{(t)} \sim 1/t$$

$$D_{(T)} = D_0 e^{-1/\tau}$$
 avec

$$D_{(T)} = \frac{D_0}{a^2} e^{-\frac{E_a}{RT}}$$

Si le refroidissement est monotone et continu,

$$T_{(t)} \sim 1/t$$

$$D_{(T)} = D_0 e^{-1/\tau}$$
 avec $\tau = -\frac{RT_c^2}{E_a \frac{\partial T}{\partial t}}$

$$\tau = -\frac{RT_c^2}{E_a \frac{\partial T}{\partial t}}$$

$$D_{(T)} = \frac{D_0}{a^2} e^{-\frac{E_a}{RT}}$$

• Si le refroidissement est monotone et continu, $T_{
m (}$

$$T_{(t)} \sim 1/t$$

$$D_{(T)} = D_0 e^{-1/\tau}$$
 avec $\tau = -\frac{RT_c^2}{E_a \frac{\partial T}{\partial t}}$

temps caractéristique

$$D_{(T)} = \frac{D_0}{a^2} e^{-\frac{E_a}{RT}}$$

Si le refroidissement est monotone et continu,

$$T_{(t)} \sim 1/t$$

$$D_{(T)} = D_0 e^{-1/\tau}$$
 avec $\tau = -\frac{RT_c^2}{E_a \frac{\partial T}{\partial t}}$

$$\tau = -\frac{RT_c^2}{E_a \frac{\partial T}{\partial t}}$$

temps caractéristique

Dépend du taux de refroidissement

Dodson, 1973

$$D_{(T)} = \frac{D_0}{a^2} e^{-\frac{E_a}{RT}}$$

• Si le refroidissement est monotone et continu,

$$T_{(t)} \sim 1/t$$

$$D_{(T)} = D_0 e^{-1/\tau}$$
 avec $\tau = -\frac{RT_c^2}{E_a \frac{\partial T}{\partial t}}$ temps caractéristique

Dépend du taux de refroidissement

Dodson, 1973

$$D_{(T)} = \frac{D_0}{a^2} e^{-\frac{E_a}{RT}}$$

• Si le refroidissement est monotone et continu,

$$T_{(t)} \sim 1/t$$

$$D_{(T)} = D_0 e^{-1/\tau}$$
 avec $\tau = -\frac{RT_c^2}{E_a \frac{\partial T}{\partial t}}$ Dépend du taux de refroidissement

Dodson, 1973

$$D_{(T)} = D_0 e^{-1/\tau}$$

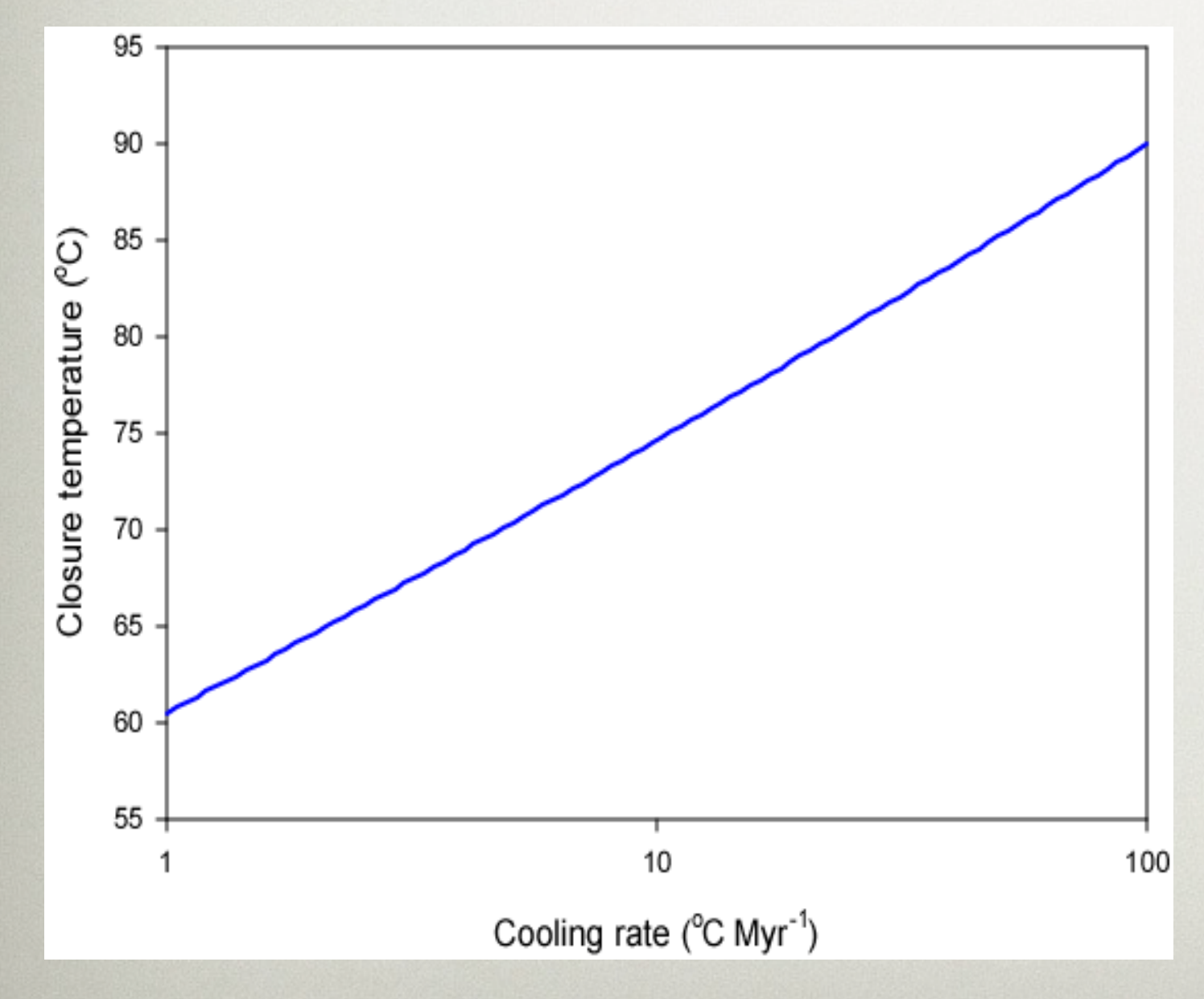
• En combinant avec l'équation de diffusion :

$$T_c = \frac{E_a}{R \ln(A\tau \frac{D_0}{a^2})}$$

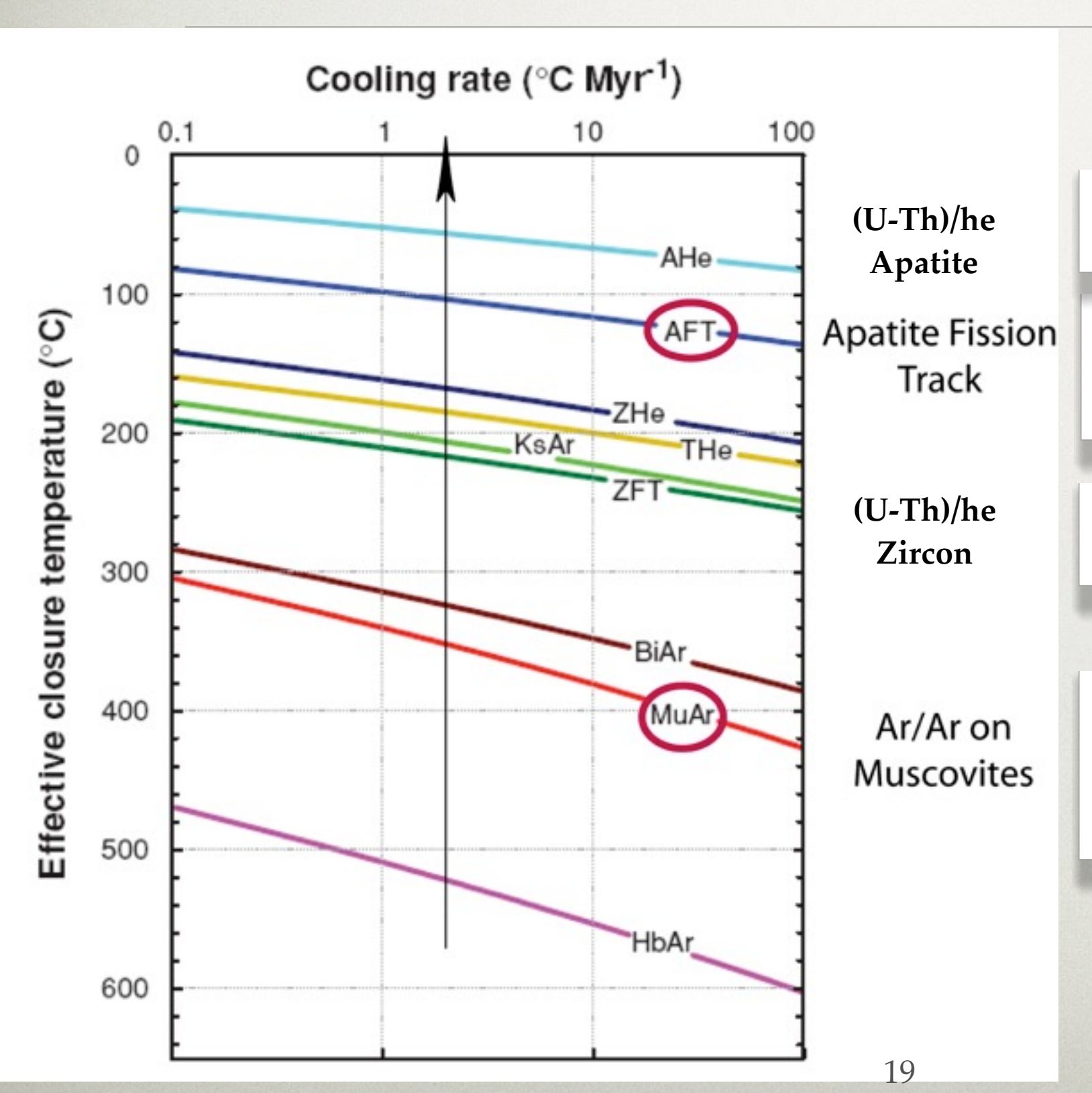
Tc des 2 côtés de l'équation!
==> Solution itérative

Dodson, 1973 $T_{(t)} \sim 1/t$

• Dépendance de la température de fermeture sur le taux de refroidissement



THERMOCHRONOMÈTRES DE BASSE TEMPÉRATURE



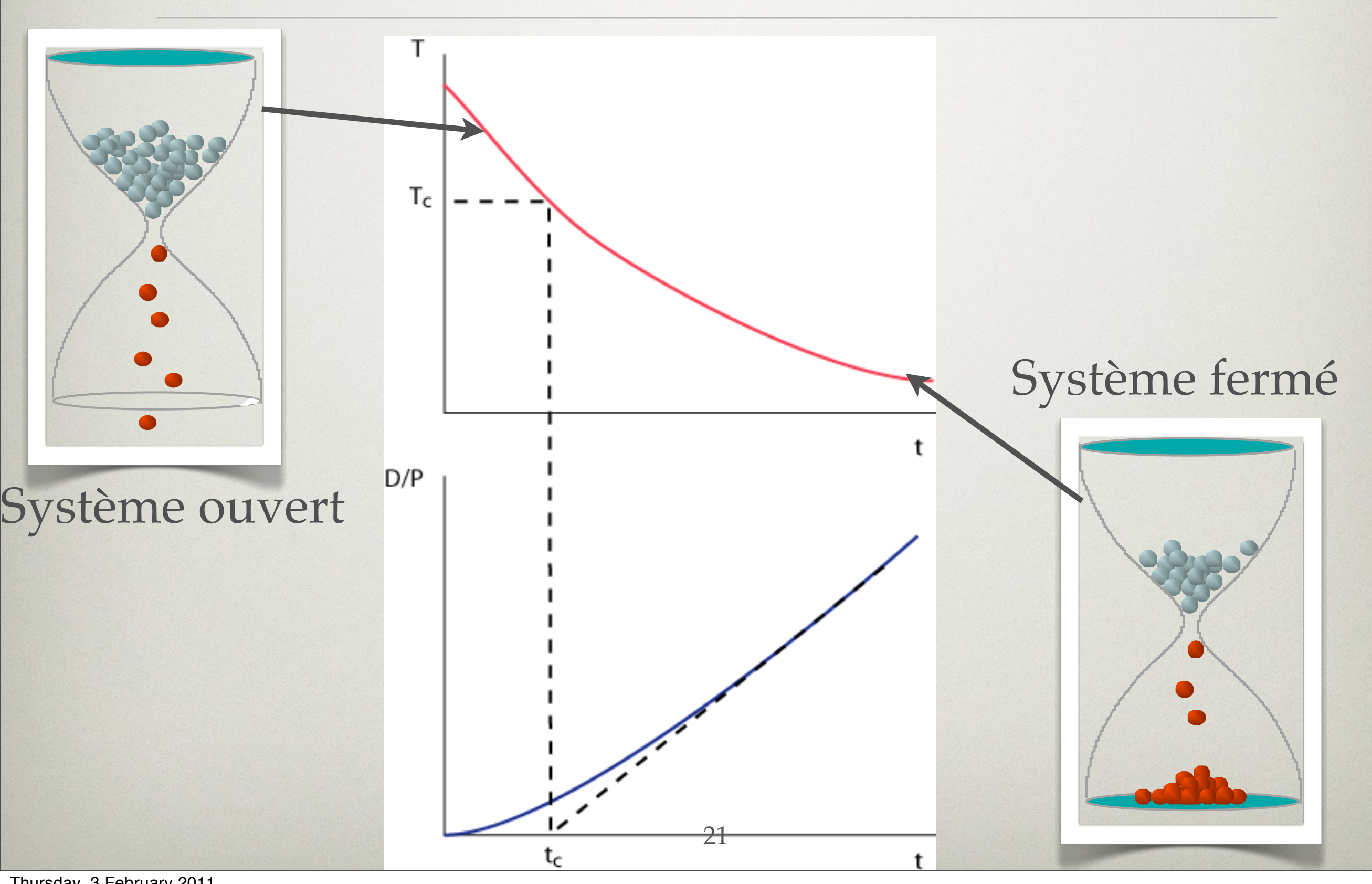
Elhers & Farley, 2003. EPSL, 206. 1-14

Wagner & Van den haute, 1992. Fission Track Dating, Kluwer Ac. Publ,

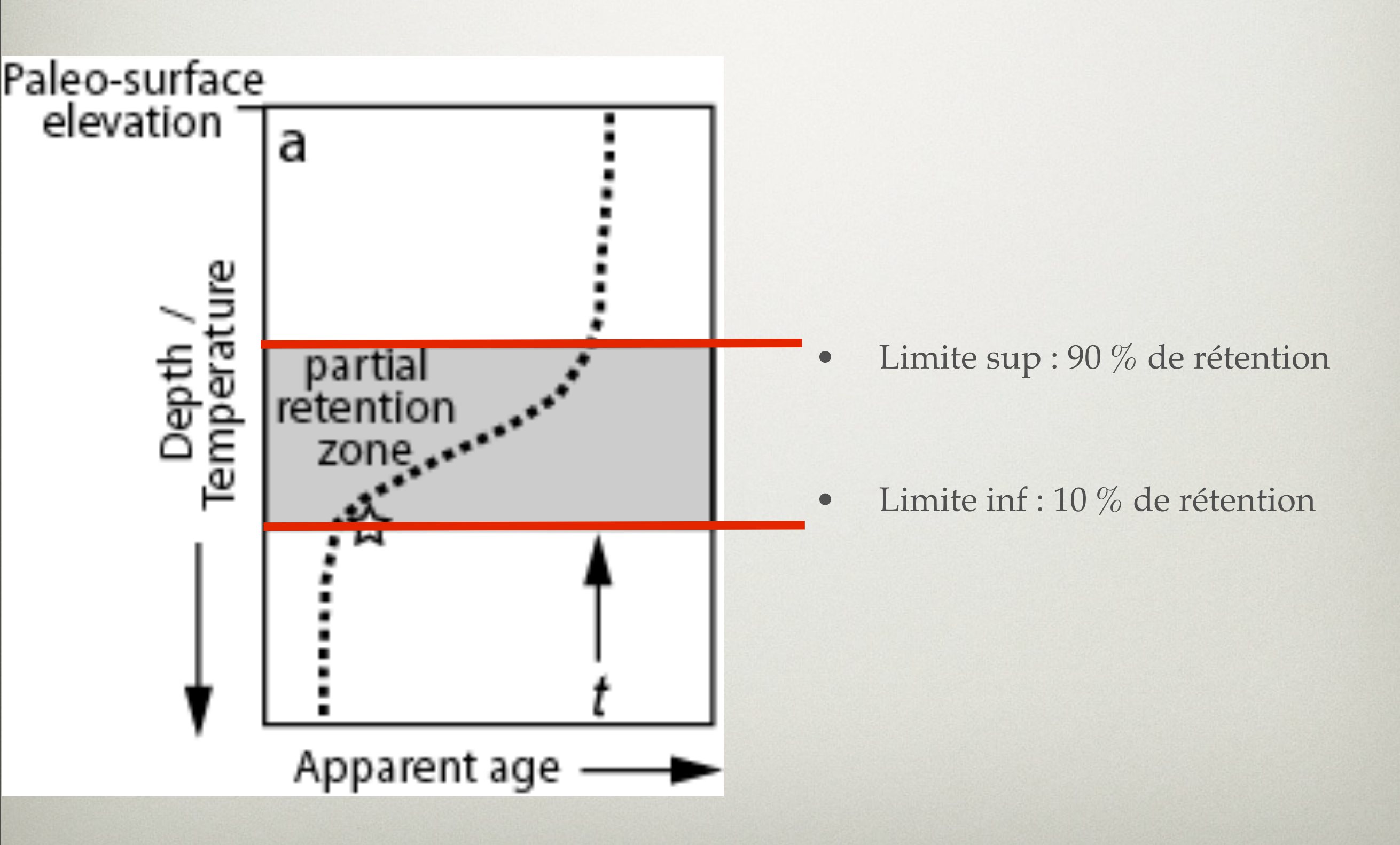
Farley, 2000. JGR, 105. 2903-2914

McDougall & Harrison, 1988. *Geochronology* and thermochronology by the 40Ar/39Ar method. Oxfot Univ. Press

CONCEPT DE ZONE DE RÉTENTION PARTIELLE



ZONE DE RÉTENTION PARTIELLE (PAZ)





MÉTHODES ISOTOPIQUES: AR-AR

• Datation K-Ar ou Ar-Ar:

$${}^{40}_{19}K \longrightarrow {}^{40}_{18}Ar + \beta^{+} \qquad (0.001\%)$$

$${}^{40}_{19}K + \beta^{-} \longrightarrow {}^{40}_{18}Ar \qquad (10.3\%)$$

$${}^{40}_{19}K \longrightarrow {}^{40}_{20}Ca + \beta^{-} \qquad (89.7\%)$$

- Datation K-Ar: Mesure K par chimie humide, Ar* par spectrometrie de masse
- Datation Ar-Ar : Induire la réaction

$$^{39}K \longrightarrow ^{39} Ar + \beta^+$$

par irradiation neutronique; mesure du rapport 40Ar/39Ar par spectrométrie de masse

$$t = \frac{1}{\lambda} \ln\left[\frac{^{40}Ar}{^{40}K}\frac{\lambda_e}{\lambda} - 1\right]$$

$$\frac{^{40}Ar}{^{39}Ar} = \frac{\lambda_e}{\lambda} \frac{^{40}K}{^{39}K} \frac{e^{\lambda t} - 1}{\alpha}$$

MÉTHODES ISOTOPIQUES: AR-AR

• Datation K-Ar ou Ar-Ar:

$${}^{40}_{19}K \longrightarrow^{40}_{18} Ar + \beta^{+} \quad (0.001\%)$$

$${}^{40}_{19}K + \beta^{-} \longrightarrow^{40}_{18} Ar \quad (10.3\%)$$

$${}^{40}_{19}K \longrightarrow^{40}_{20} Ca + \beta^{-} \quad (89.7\%)$$

- **Datation K-Ar**: Mesure K par chimie humide, Ar* par spectrometrie de masse
- Datation Ar-Ar : Induire la réaction

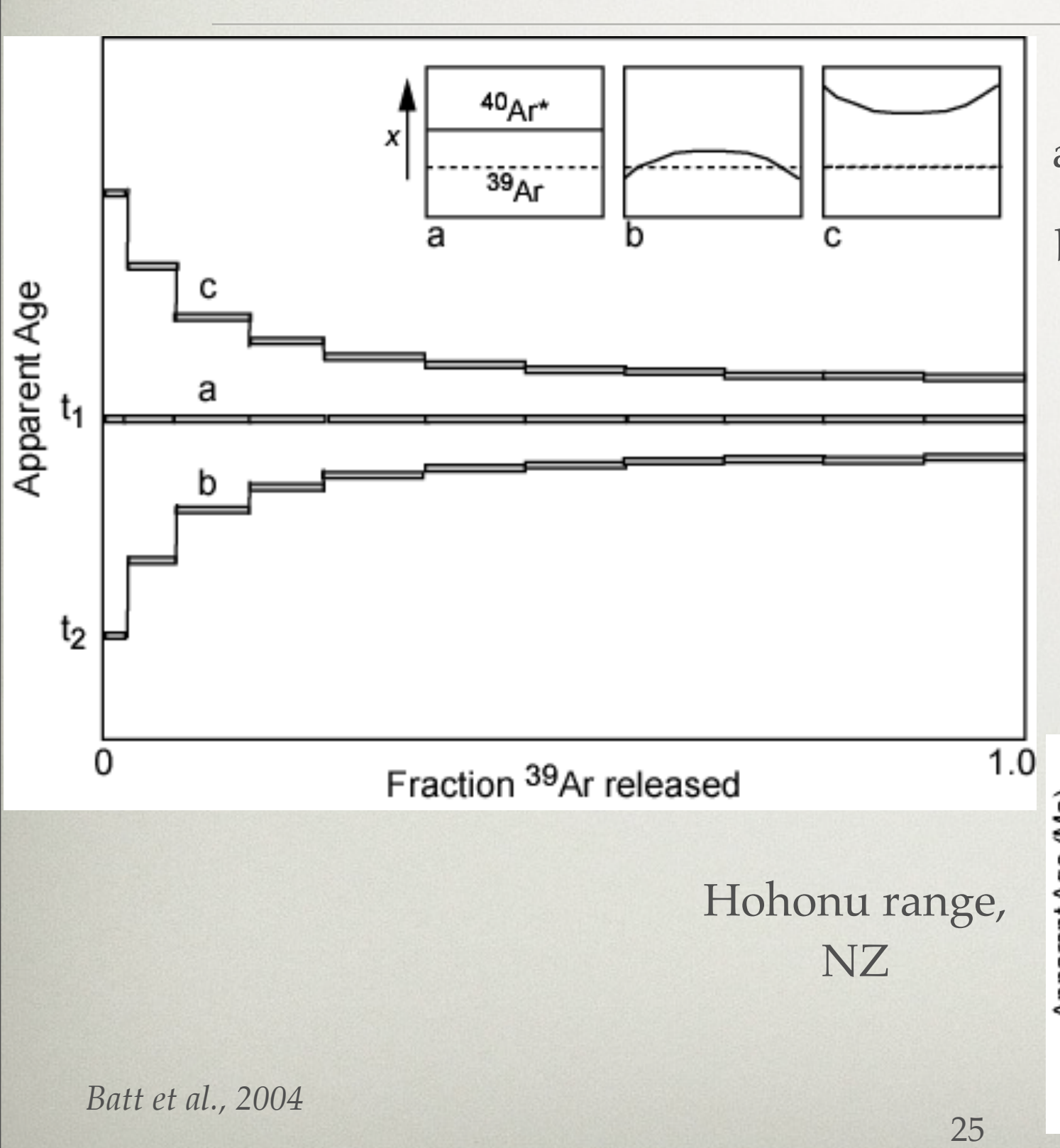
$$^{39}K \longrightarrow ^{39} Ar + \beta^+$$

par irradiation neutronique; mesure du rapport 40Ar/39Ar par spectrométrie de masse

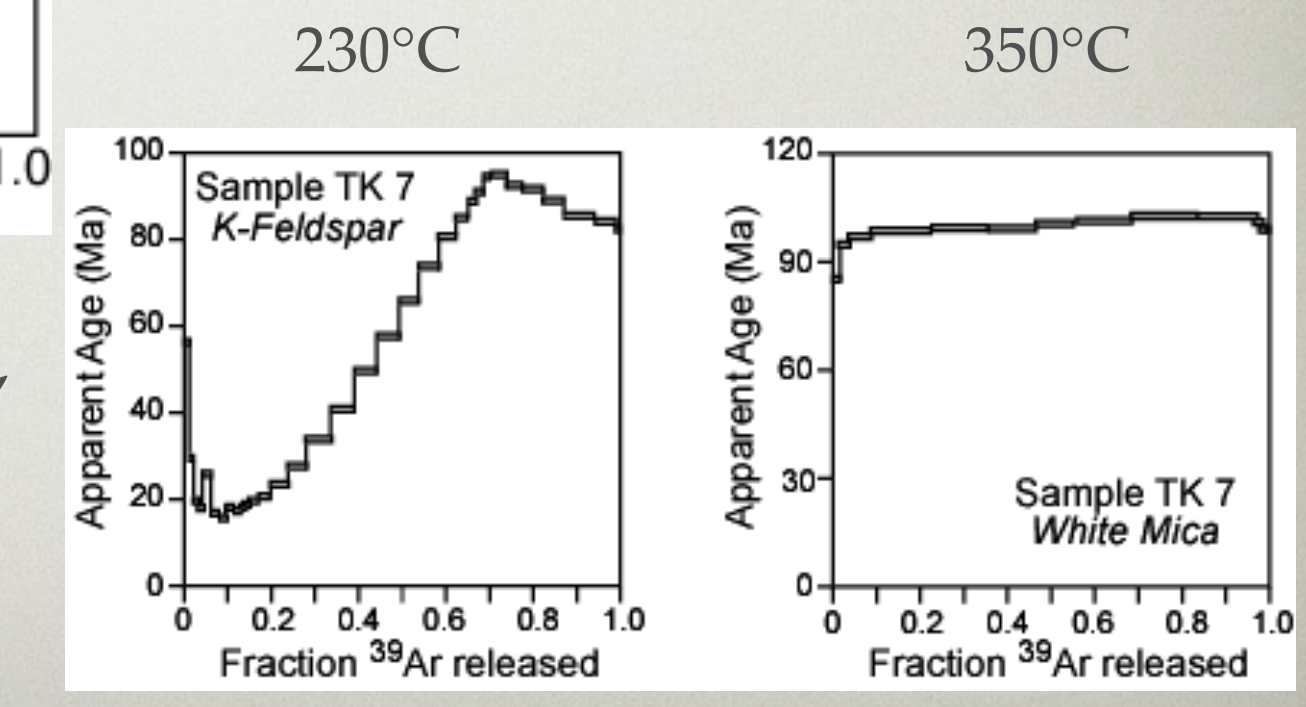
$$t = \frac{1}{\lambda} \ln\left[\frac{^{40}Ar}{^{40}K}\frac{\lambda_e}{\lambda} - 1\right]$$

$$\frac{^{40}Ar}{^{39}Ar} = \frac{\lambda_e}{\lambda} \frac{^{40}K}{^{39}K} \frac{e^{\lambda t} - 1}{\alpha}$$

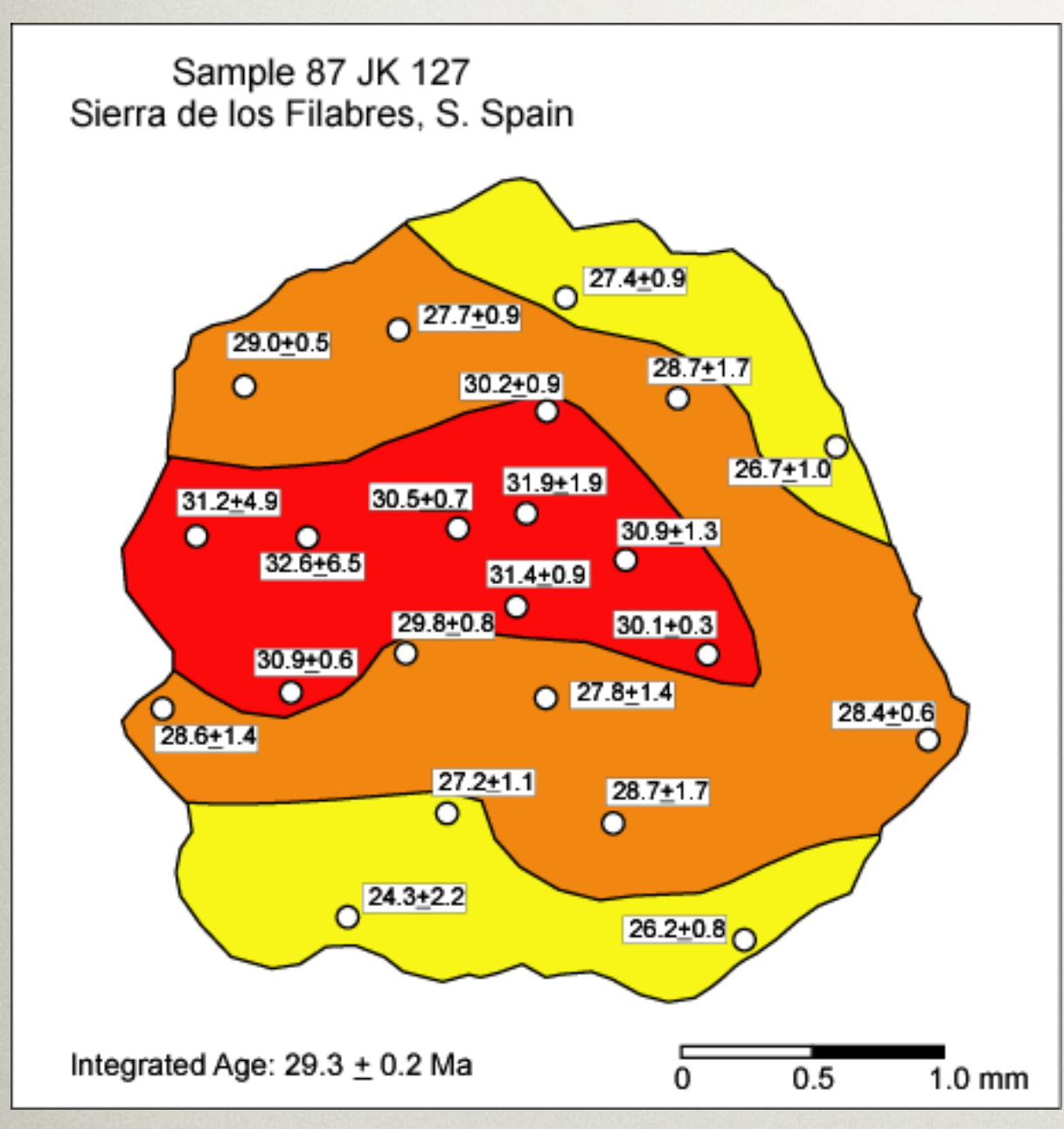
AR-AR: CHAUFFAGE PAR PALIERS

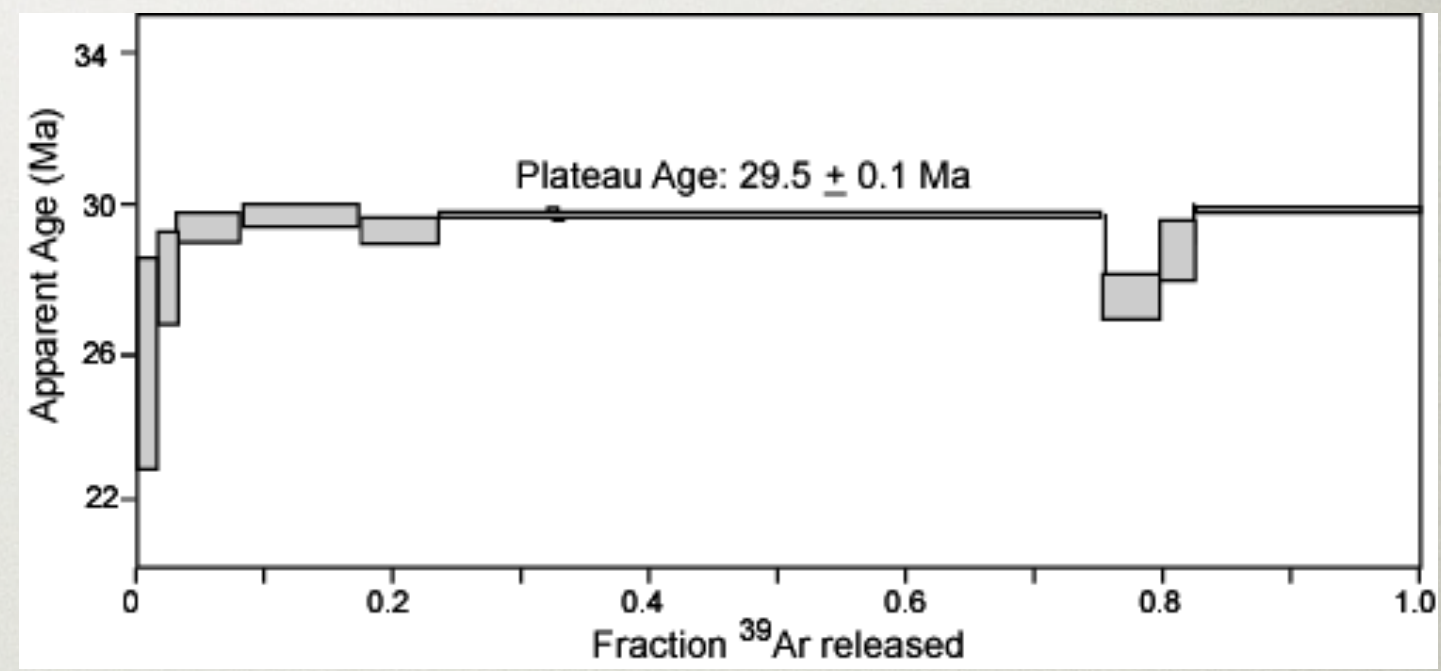


- a) âge ideal --> refroidissement rapide à t1
- b) perte d'Ar --> reset partiel à t2 OU refroidissement lent à t1
- c) Exces d'Ar



AR-AR: FUSION PONCTUELLE (LASER)



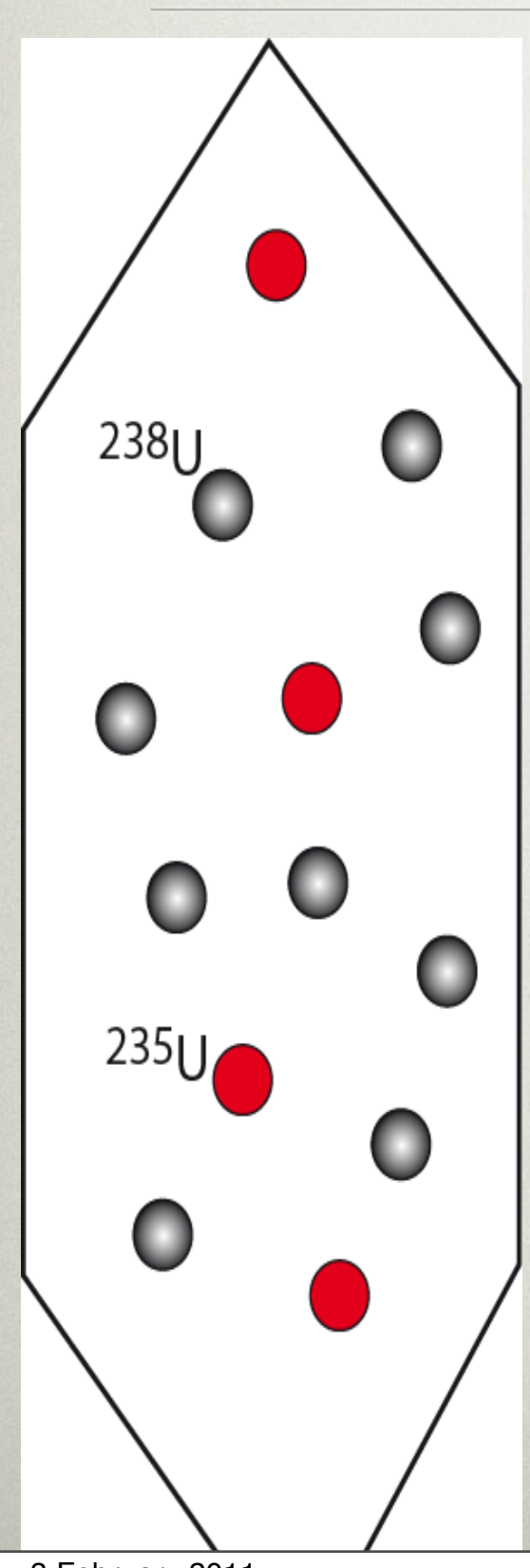


AR-AR, DATATION DES MICAS BLANCS

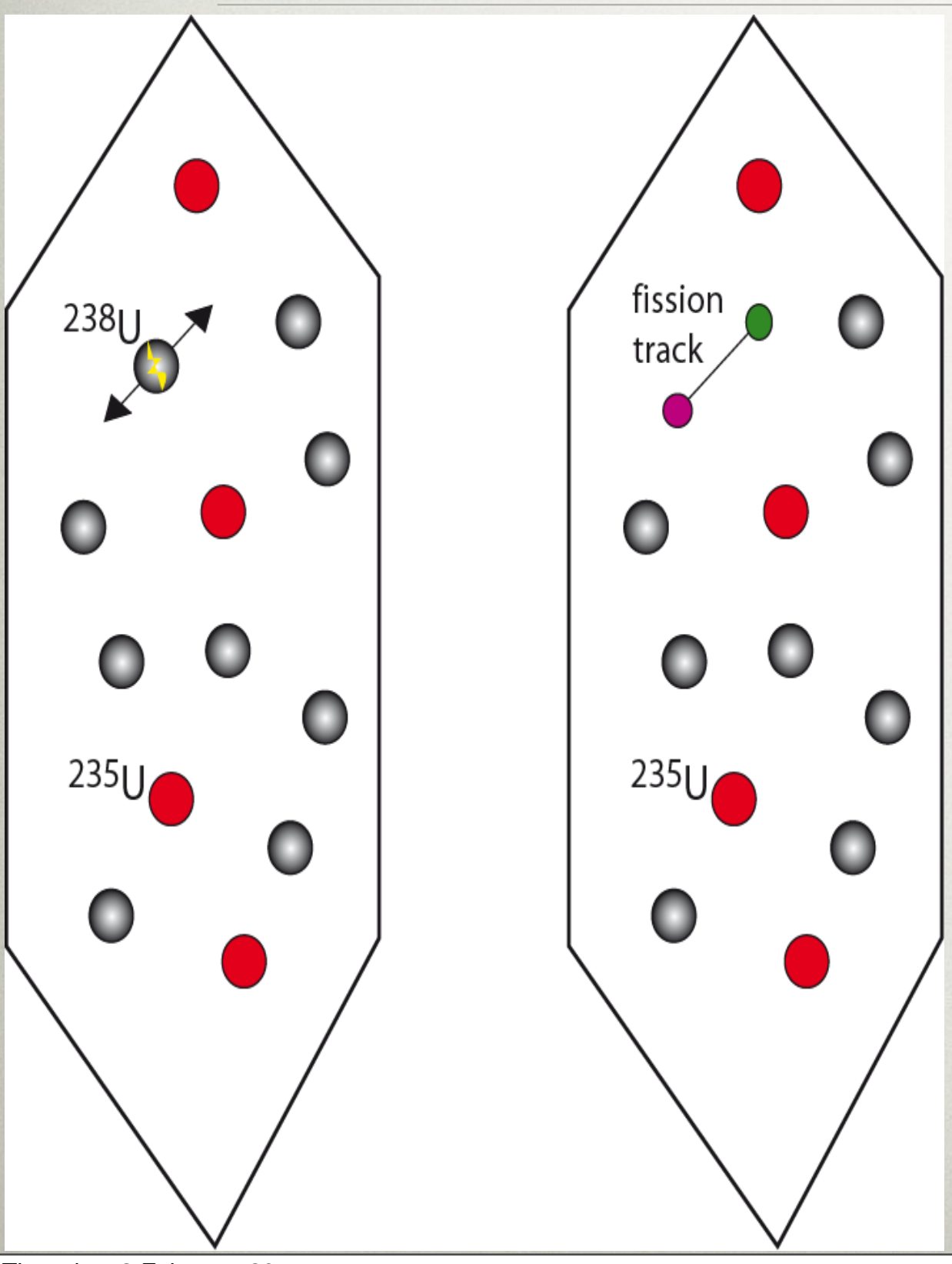
- Détermination de l'âge de déformation
- Âge de refroidissement
- Taux d'exhumation
- Analyse de provenance



LE SYSTÈME TRACES DE FISSION



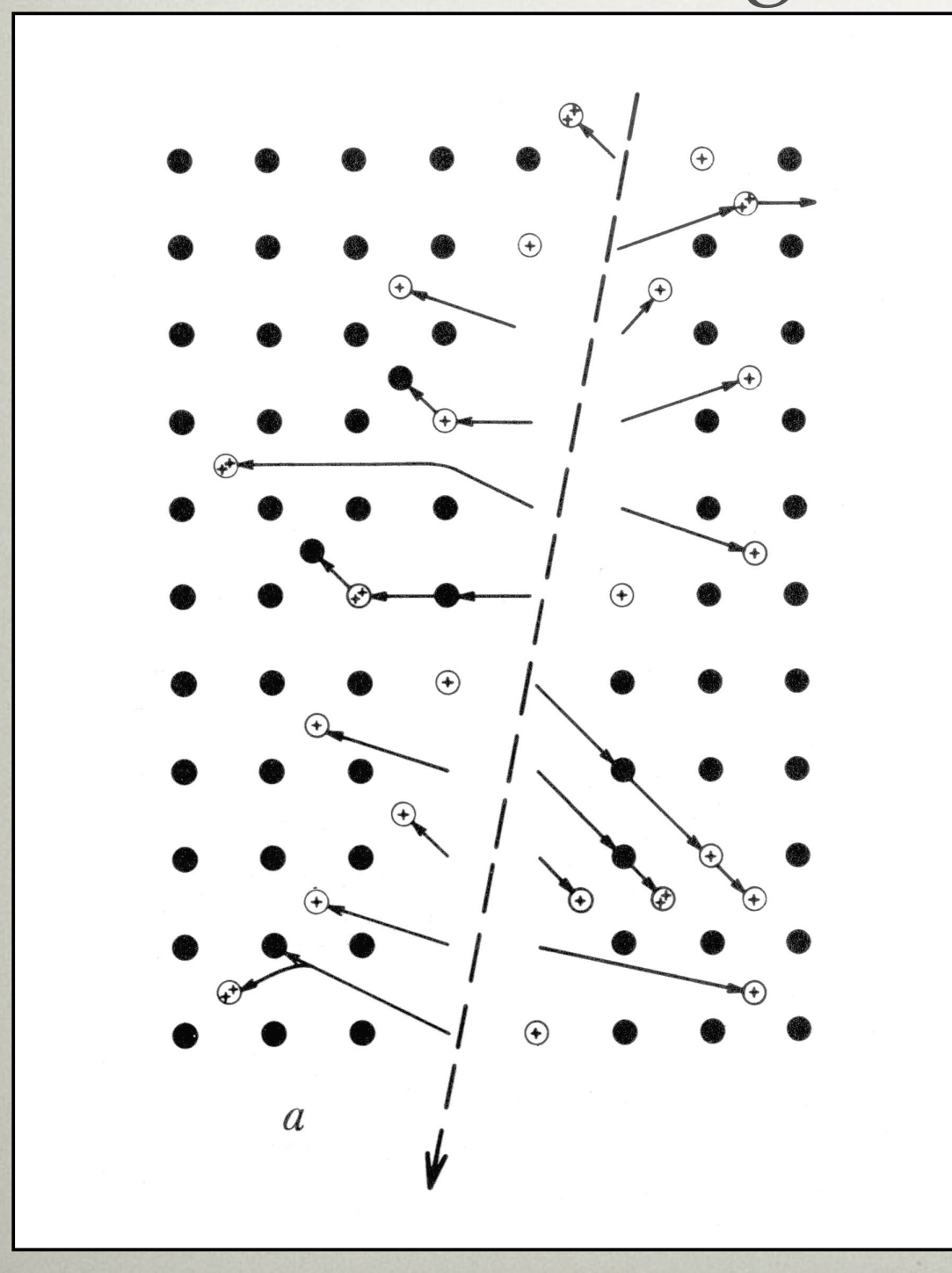
- Minéraux utilisés:
 - Apatites
 - Zircons
 - Sphenes

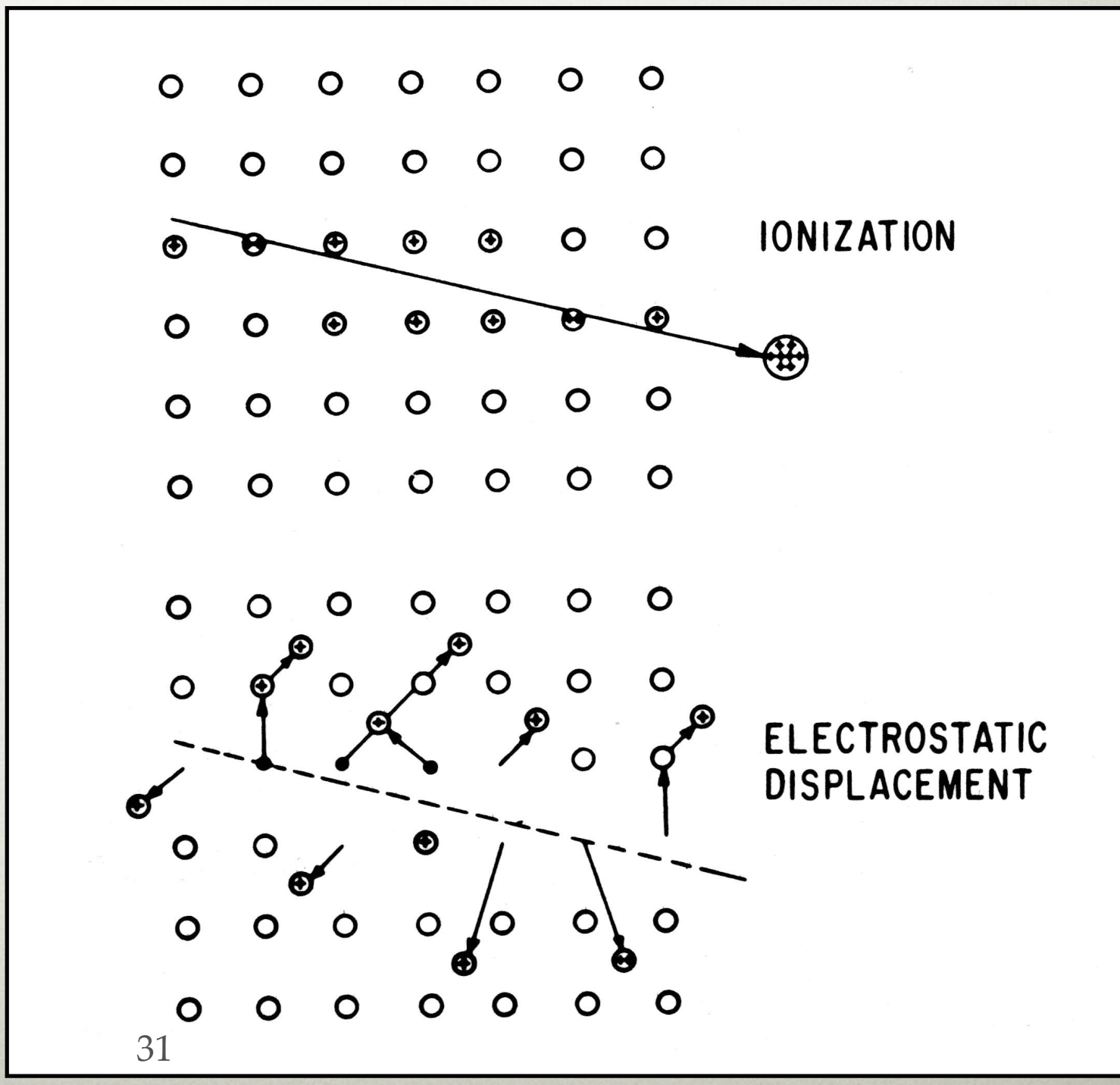


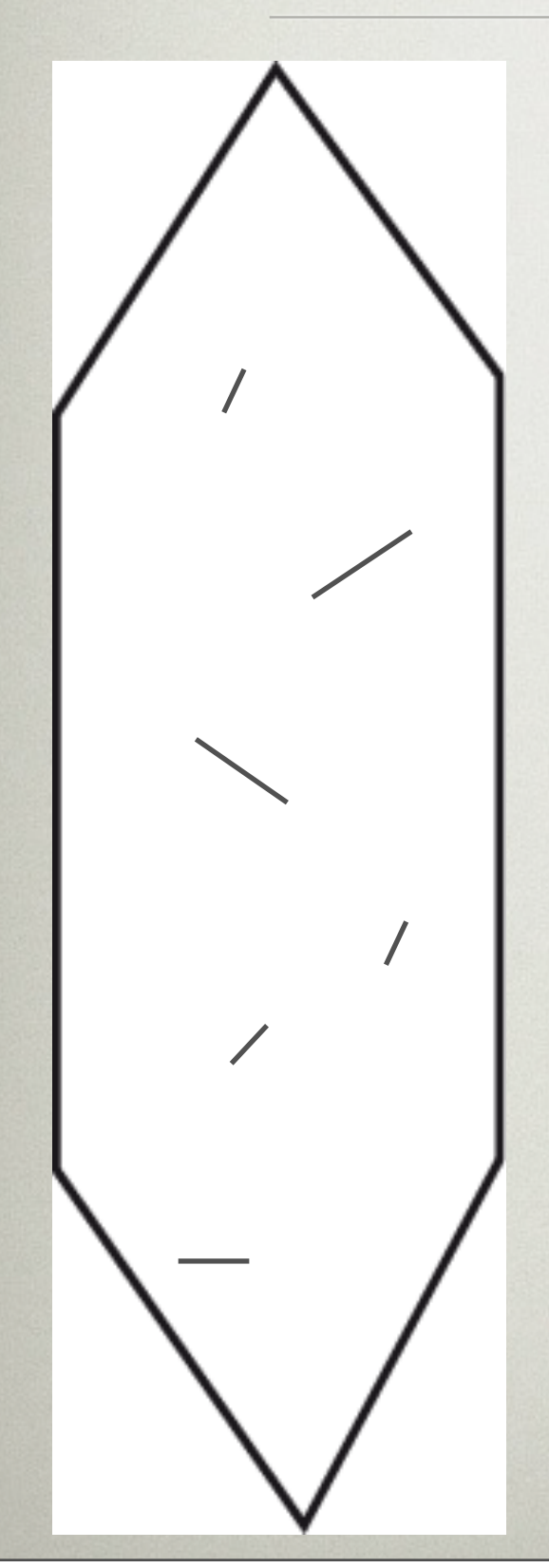
 Formé par fission spontanée de l'238U

30

Dommages dans la structure cristalline







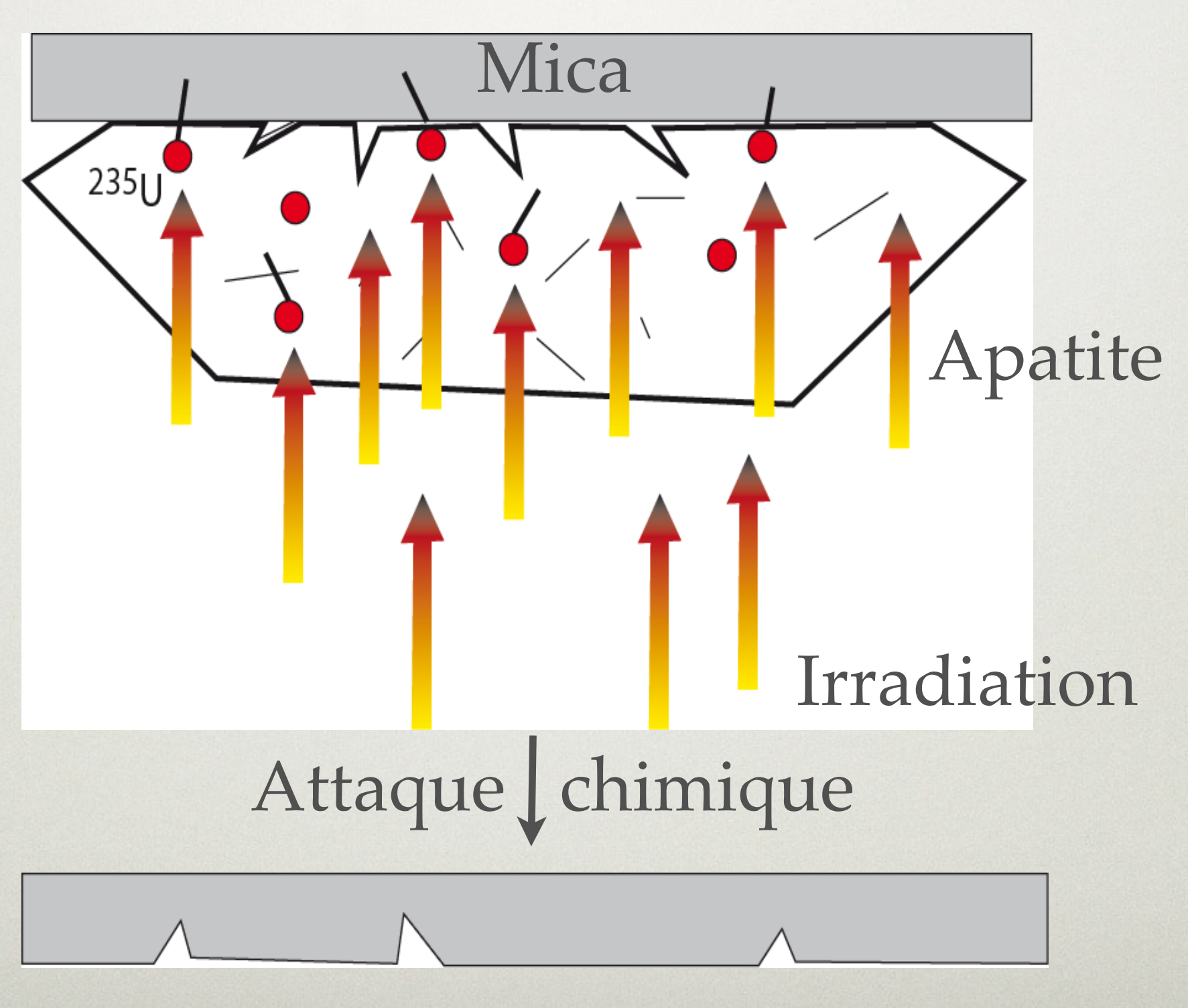
- Formation de traces:
 - Fonction linéraire du temps (t1/2 pour la fission spontanée 238U ~ 9 E15 an)
 - Age déterminé par la densité de traces et la [U]



 Observable au microscope optique après attaque chimique contrôlée (T, concentration, temps)

MÉTHODE DU DÉTECTEUR EXTERNE

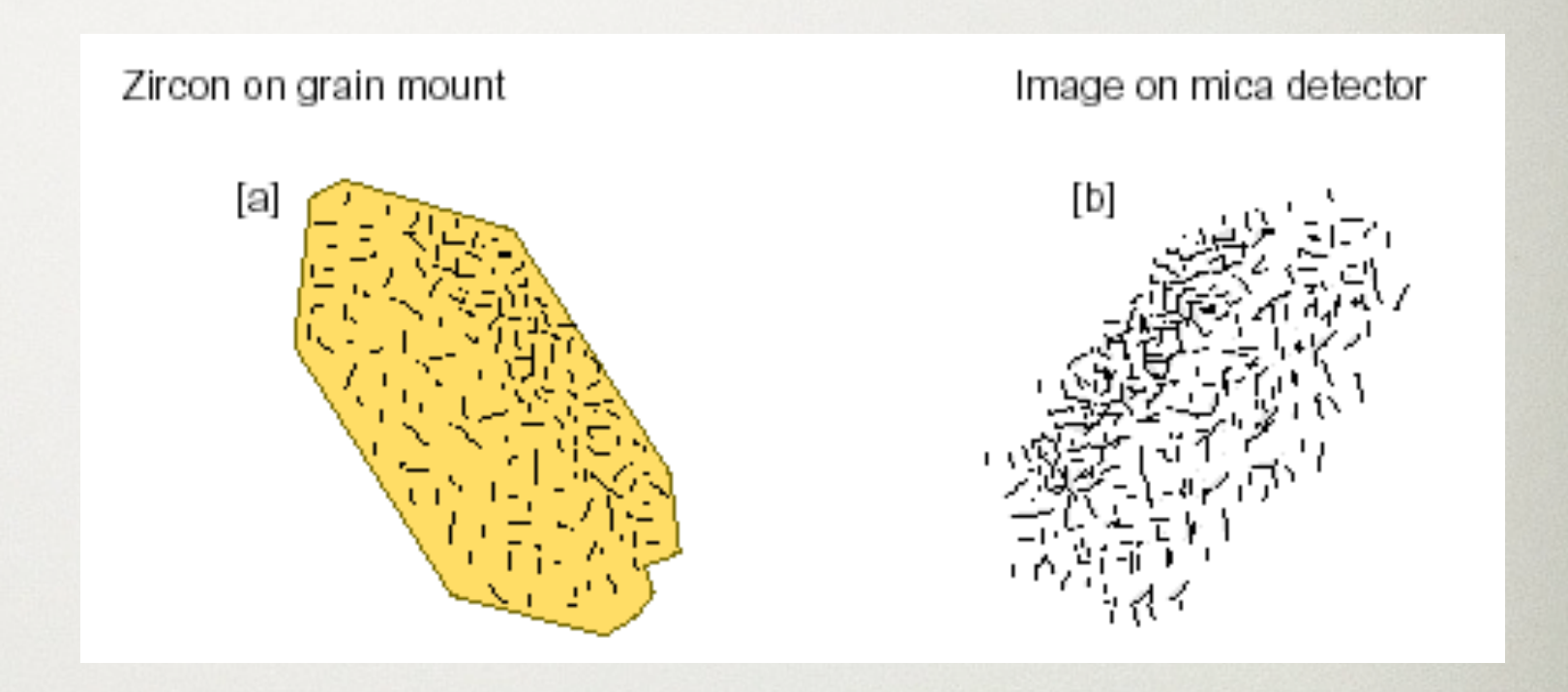
Traces induites

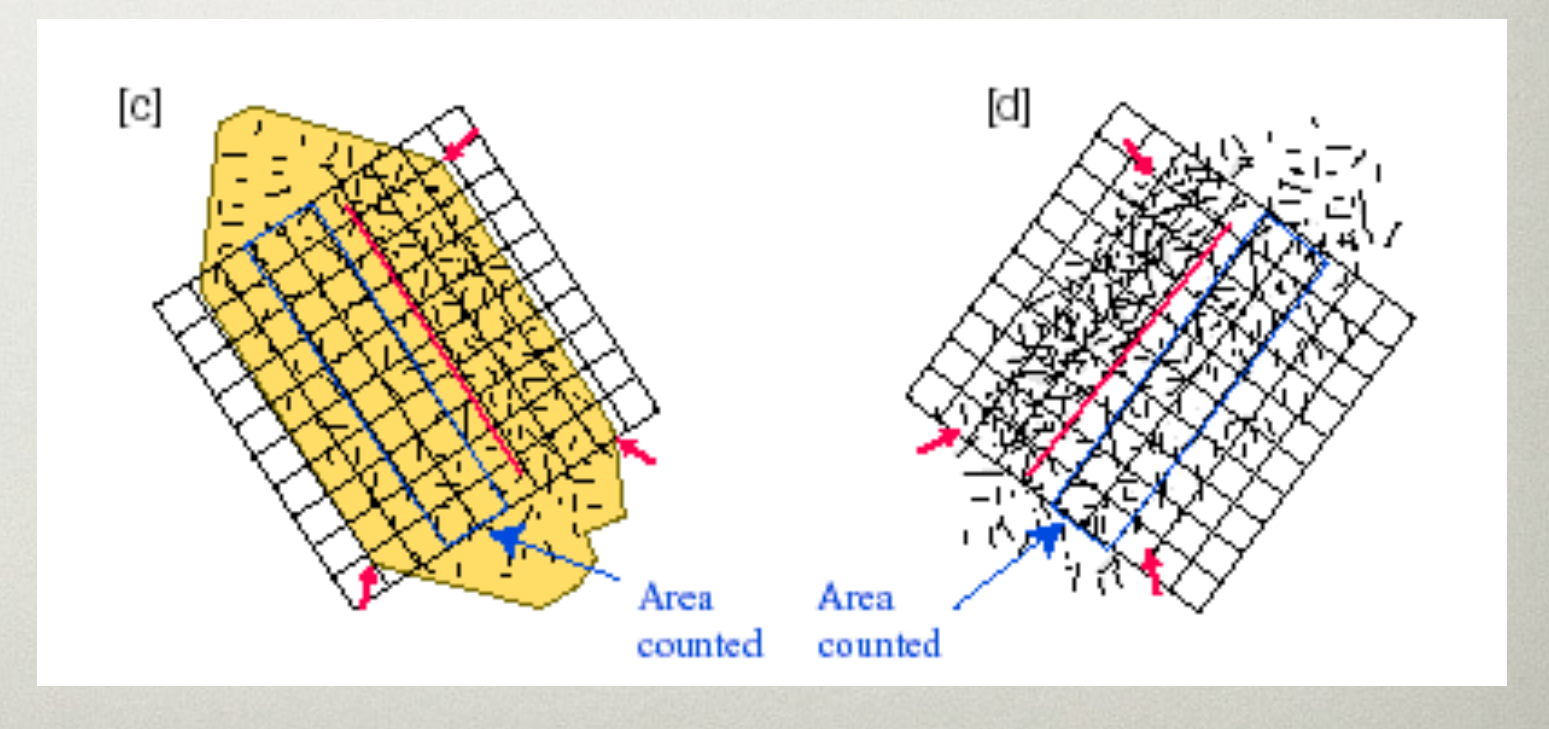


METHODE DU DETECTEUR EXTERNE

Comptage traces
 spontannées
 (grains) : ρs

• Comptage traces induites (mica): ρi





MÉTHODE DU DÉTECTEUR EXTERNE

• Age traces de fission : $t = \frac{1}{\lambda} \ln[1 + \frac{\lambda \phi \sigma c I \rho_s}{\lambda_f \rho_i}]$

 λ Constante de désintégration totale du 238U

 λ_f Constante de désintégration par fission

 ϕ Flux neutronique (fluence)

 σ Section de capture neutronique

c Constante de géométrie

I Ratio 238U/235U

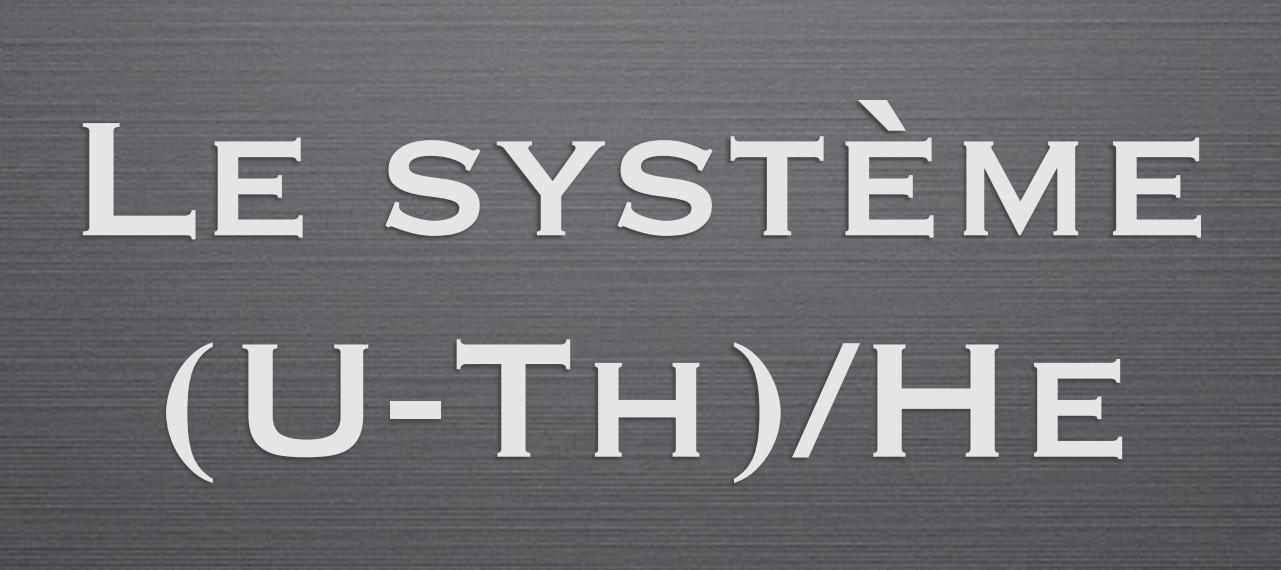
 $ho_s,~
ho_i$ Densités de traces spontanées et induites $_{36}^{6}$

MÉTHODE DU DÉTECTEUR EXTERNE

• Age traces de fission :
$$t = \frac{1}{\lambda} \ln[1 + \frac{\lambda \zeta \rho_s c \rho_d}{\rho_i}]$$

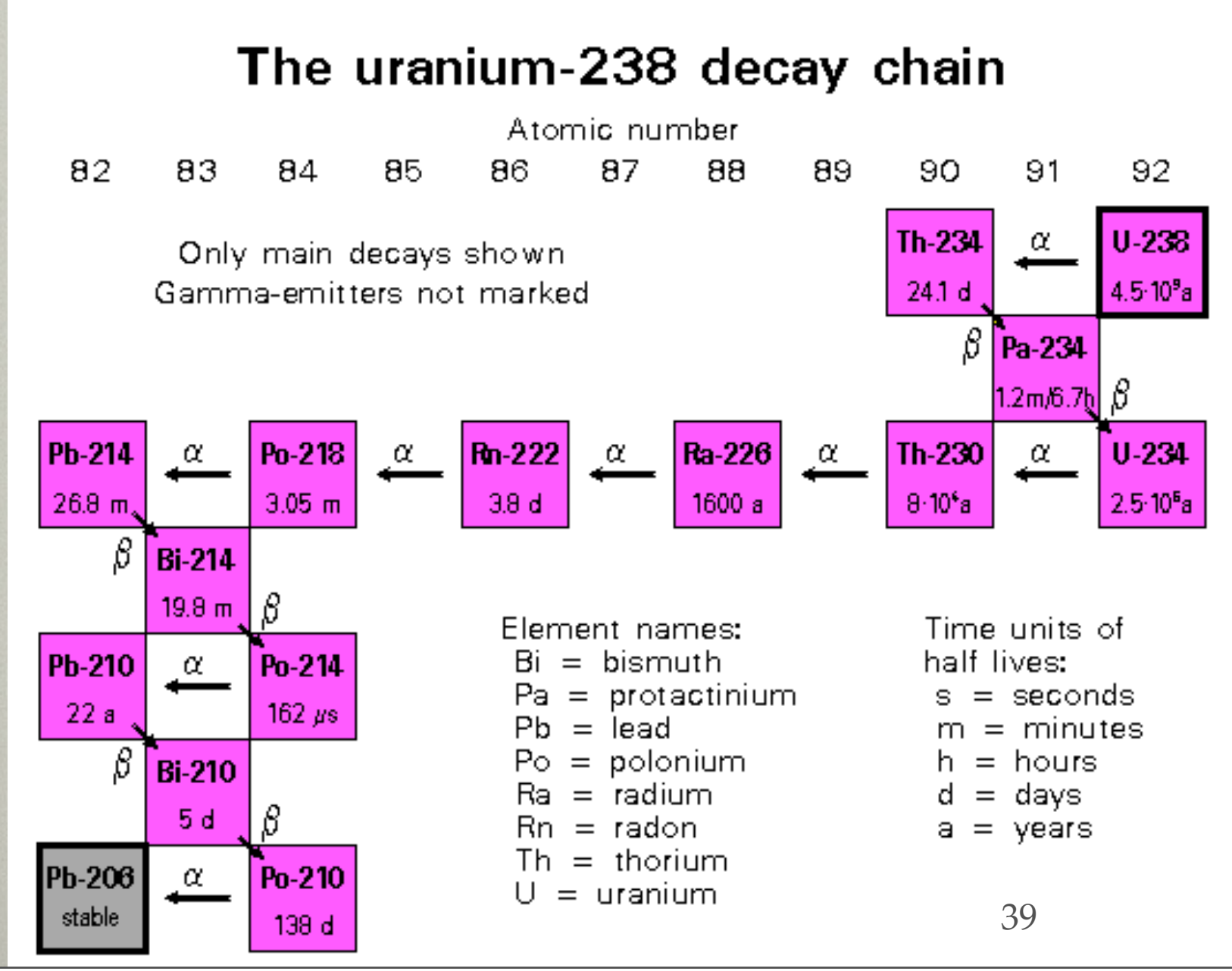
• Facteur de calibration :
$$\zeta = \frac{\phi \sigma I}{\lambda_f \rho_d}$$

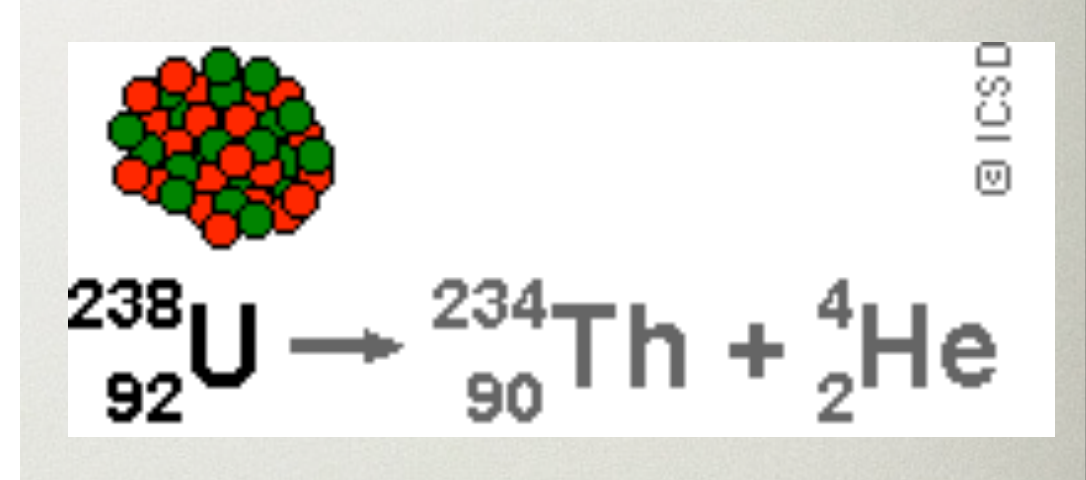
- λ Constante de désintégration totale du 238U
- λ_f Constante de désintégration par fission
- ϕ Flux neutronique (fluence)
- σ Section de capture neutronique
- c Constante de géométrie
- I Ratio 238U/235U
- $\rho_s,~\rho_i$ Densités de traces spontanées et induites



(U-TH)/HE THERMOCHRONOLOGIE

- Série de décroissance radioactive de **U** et **Th** --> **4He** (particule α)
- 8 émissions α au cours de la série décroissance

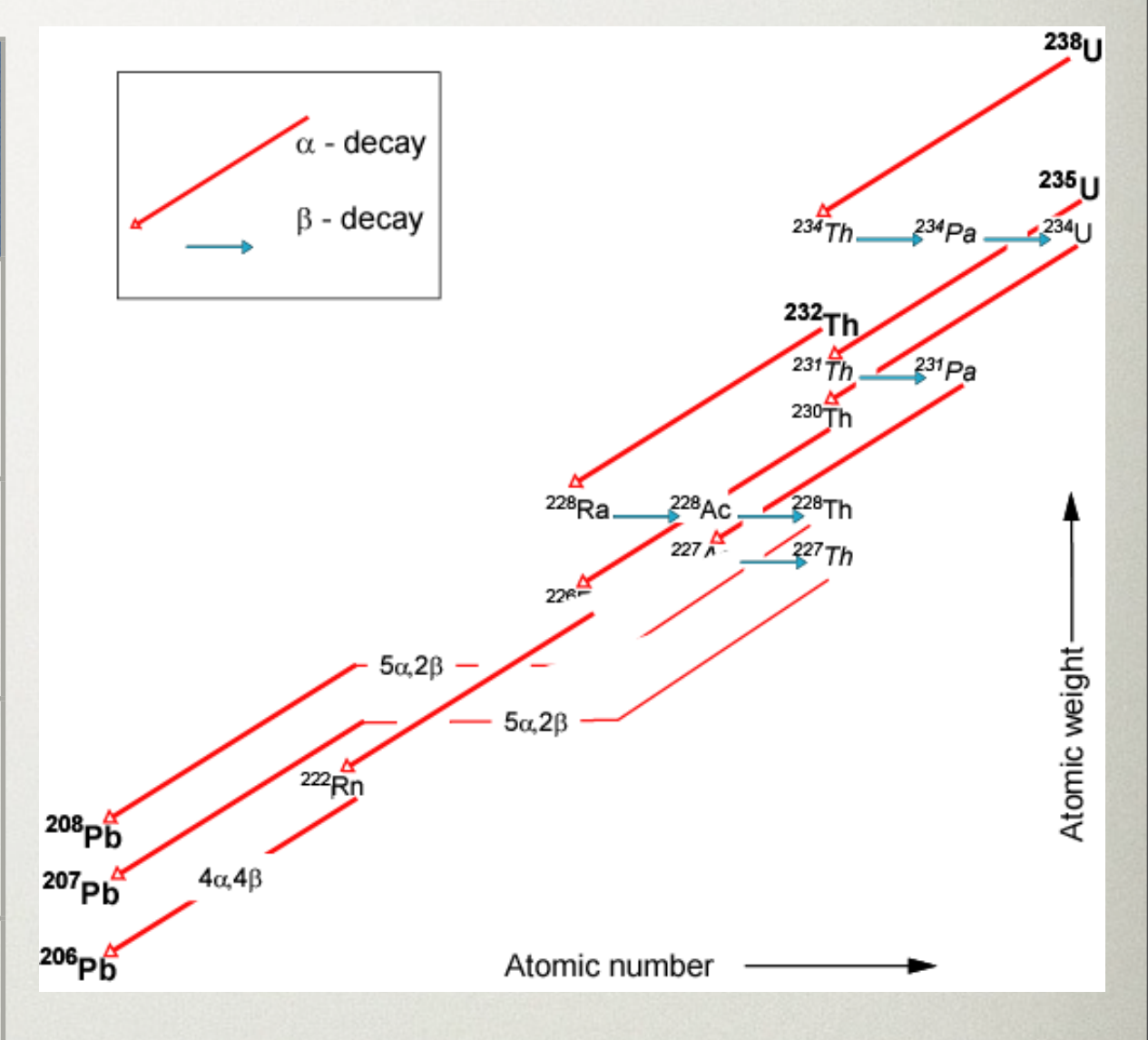




Thursday, 3 February 2011

(U-TH)/HE THERMOCHRONOLOGIE

Isotope	Abondance	λ (/an)
238 U	99.27%	1.55 E-10
235 U	0.72%	9.85 E-10
234 U	0.006%	2.83 E-6
232 Th	100%	4.85 E-11

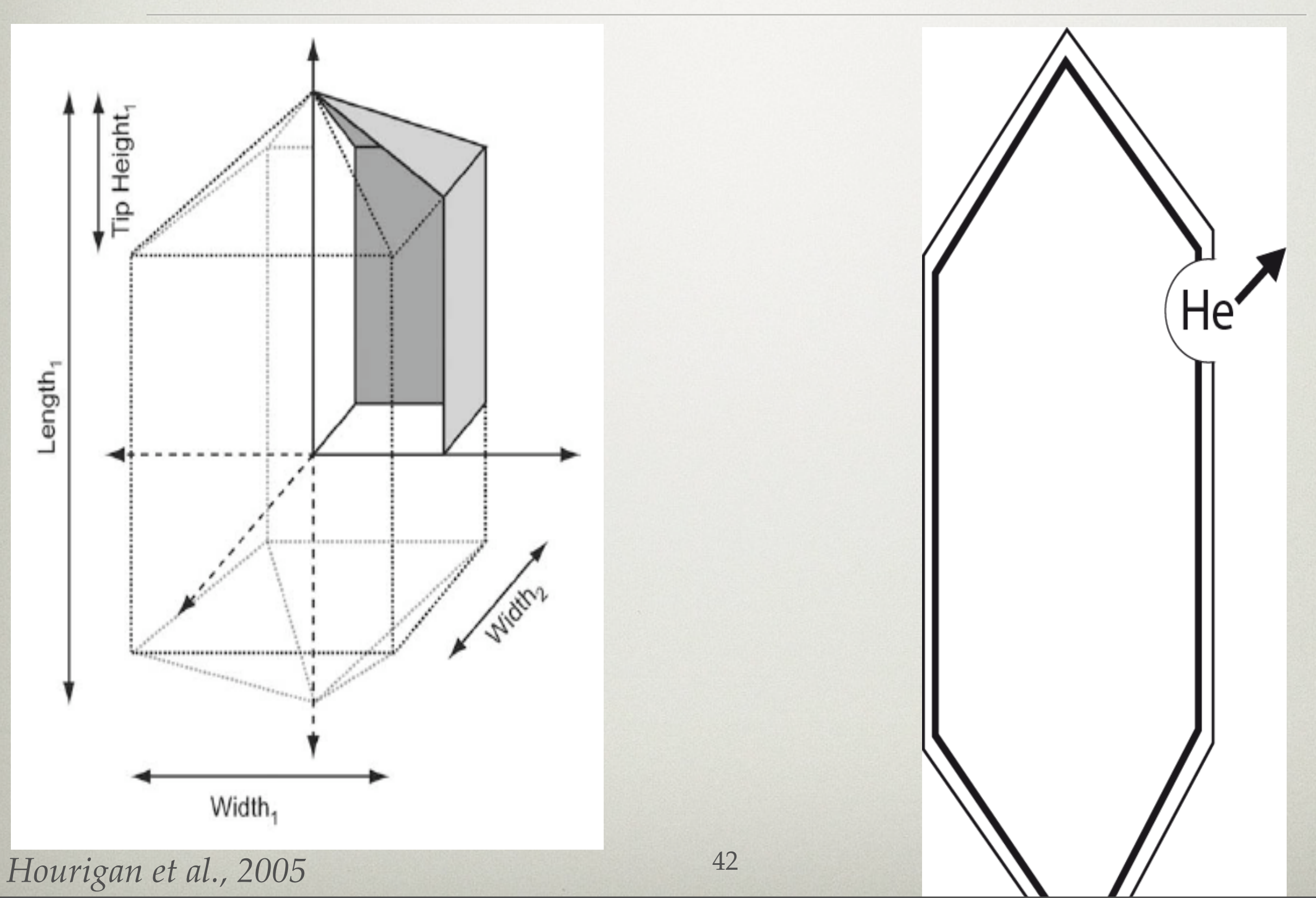


$${}^{4}He = 8 *^{238} U(e^{\lambda_{238}t} - 1) + 7 * \frac{{}^{238}U}{137.88}(e^{\lambda_{235}t} - 1) + 6 *^{232} Th(e^{\lambda_{232}t} - 1)$$

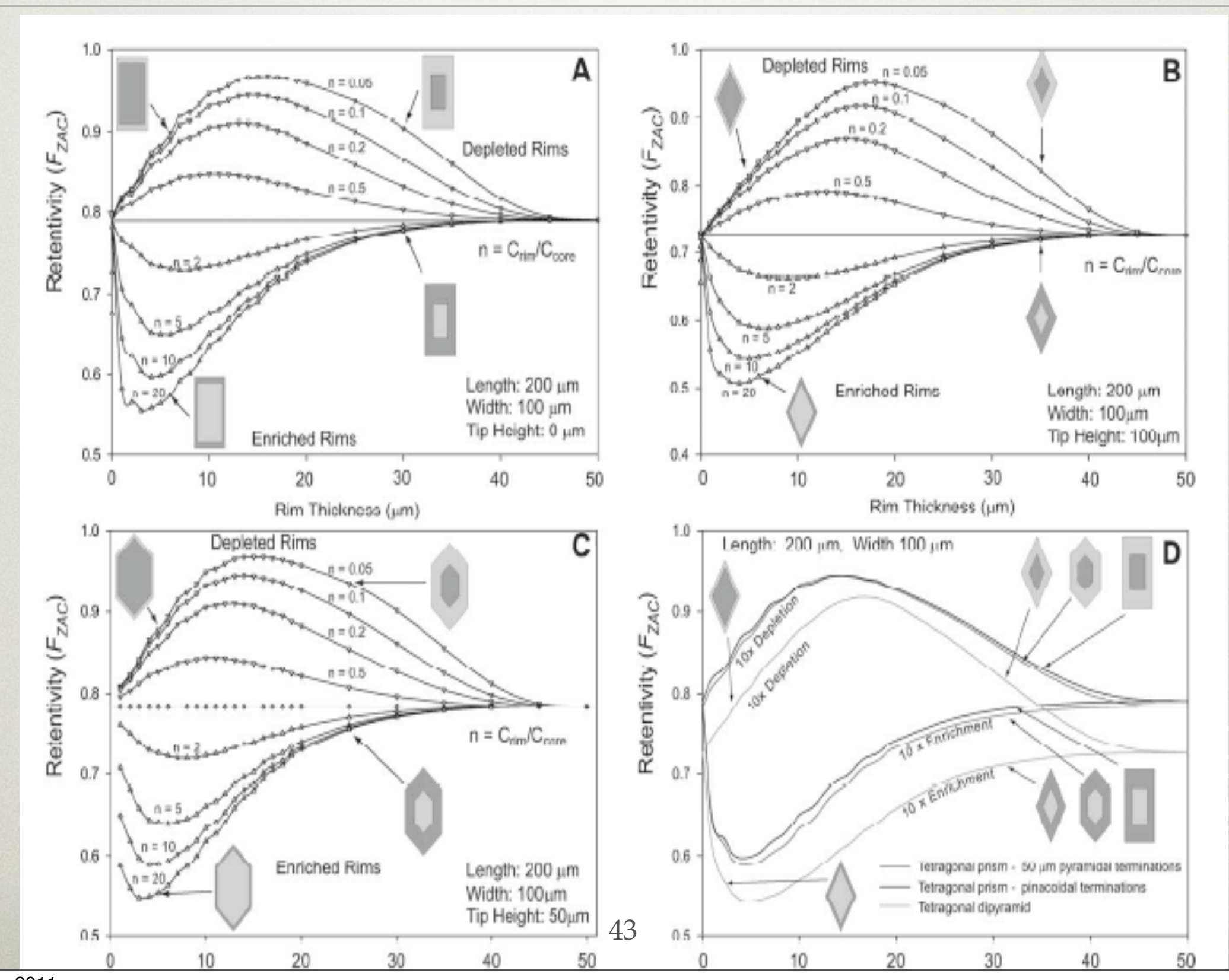
(U-TH)/HE THERMOCHRONOLOGIE

- Température de fermeture effective
 - ~70°C (Apatites)
 - 160°C-200°C (Zircon)
 - Dependant du taux de refroidissement et de la taille du minéral
- Mesures d'4He, 238U et 232Th
- He diffuse dans les apatites pour des T>40°C
- **CORRECTION**: alpha ejection

CORRECTION ALPHA POUR ZIRCONS



CORRECTION ALPHA POUR ZIRCONS



Hourigan et al., 2005

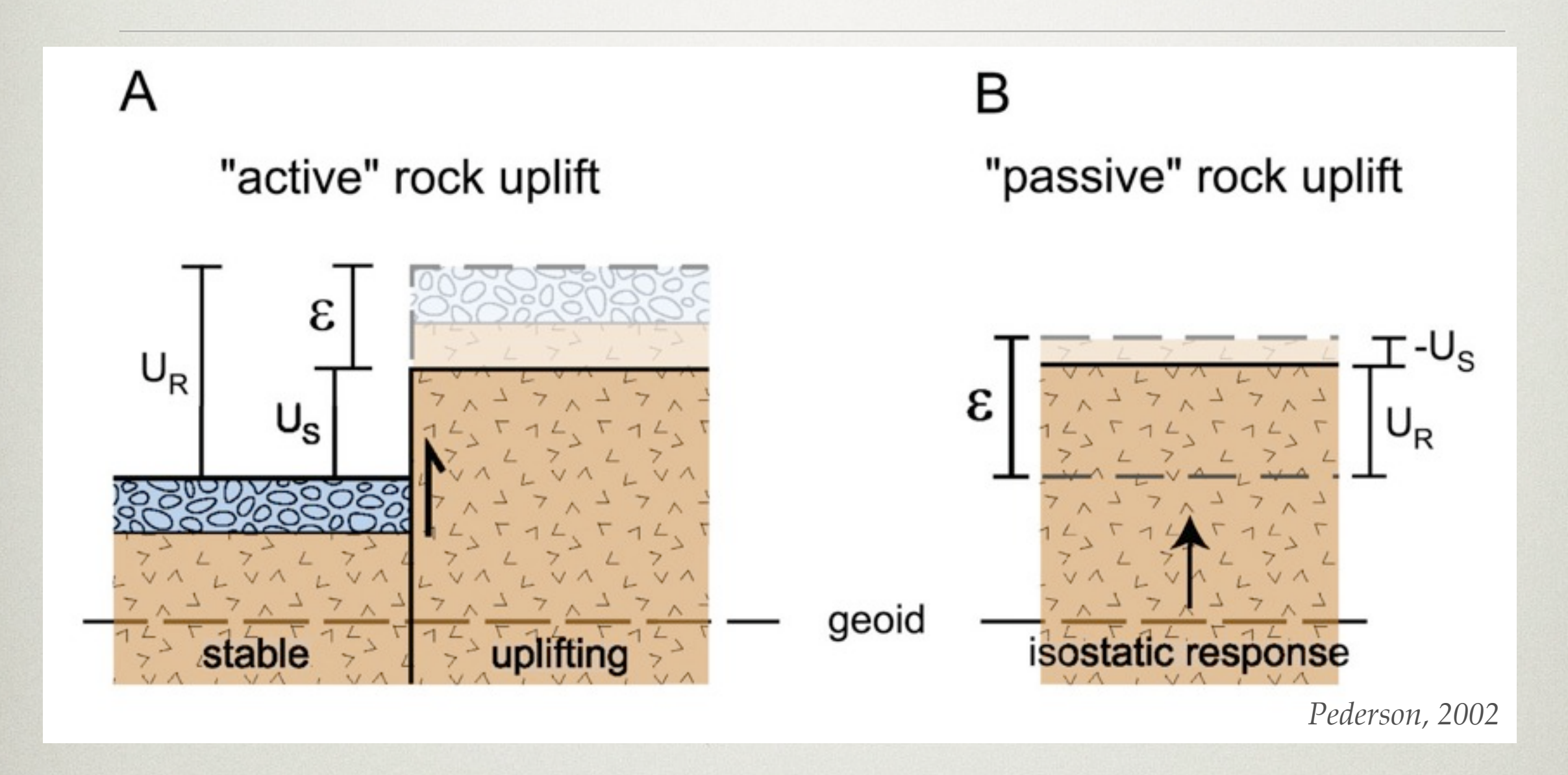
Thursday, 3 February 2011



TAUX D'EXHUMATION

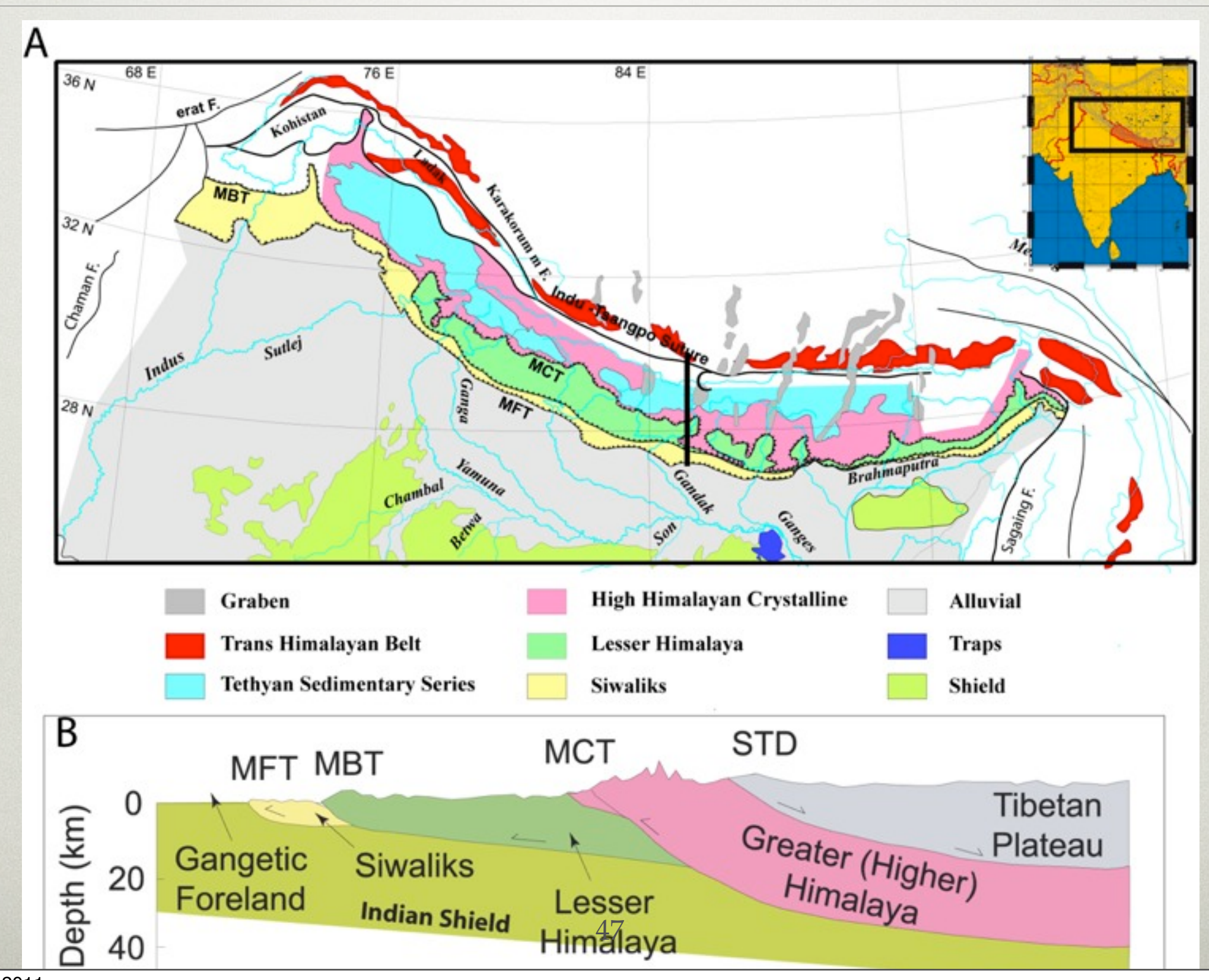
- Question à ce poser : Qu'est ce qu'on mesure ?
- ==> C'est un taux de Refroidissement!
- ==> Interprétation en taux d'Exhumation!
- Ce n'est pas un taux de soulèvement (uplift)
- Bien faire la différence entre exhumation, surface uplift, rock uplift!

TAUX D'EXHUMATION

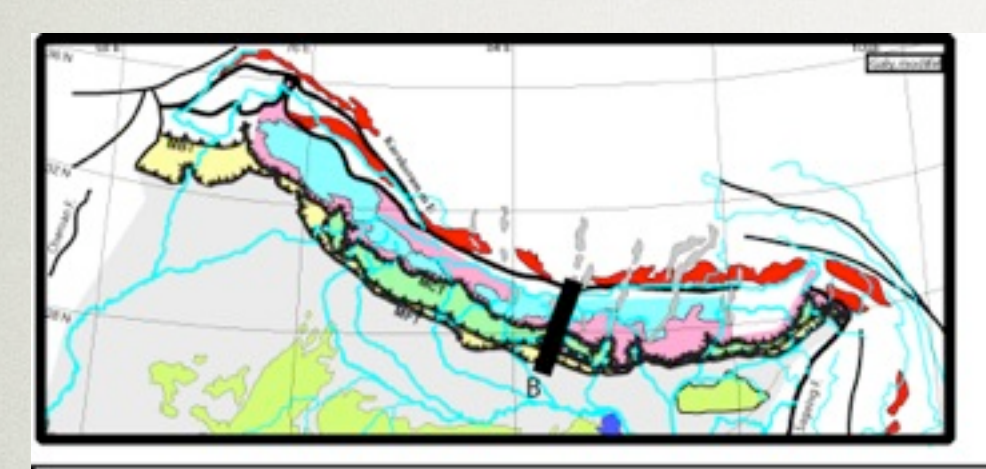


- Ur = rock uplift
- Us = surface uplift
- $\varepsilon = \text{exhumation}$

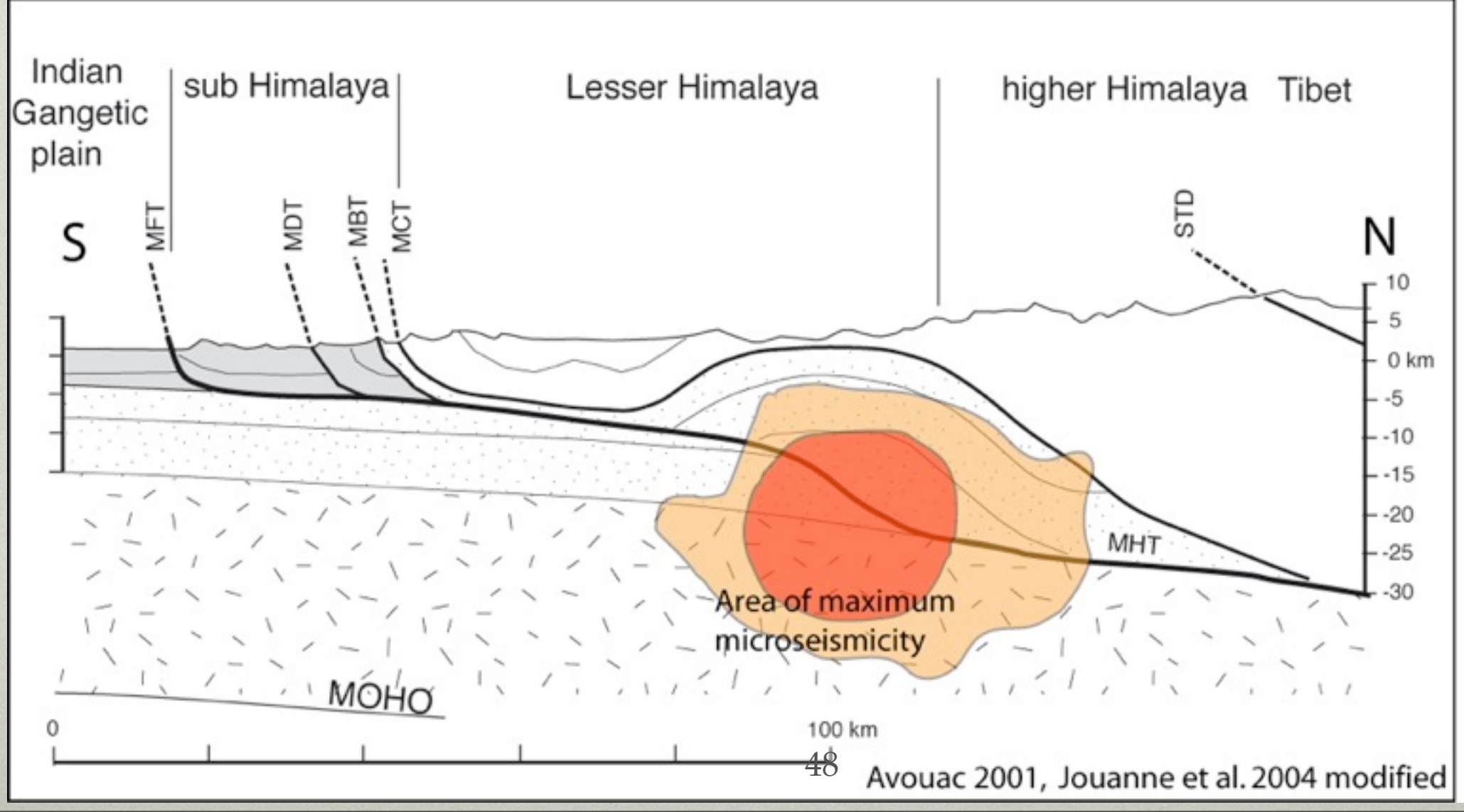
EXEMPLE 1: HIMALAYA



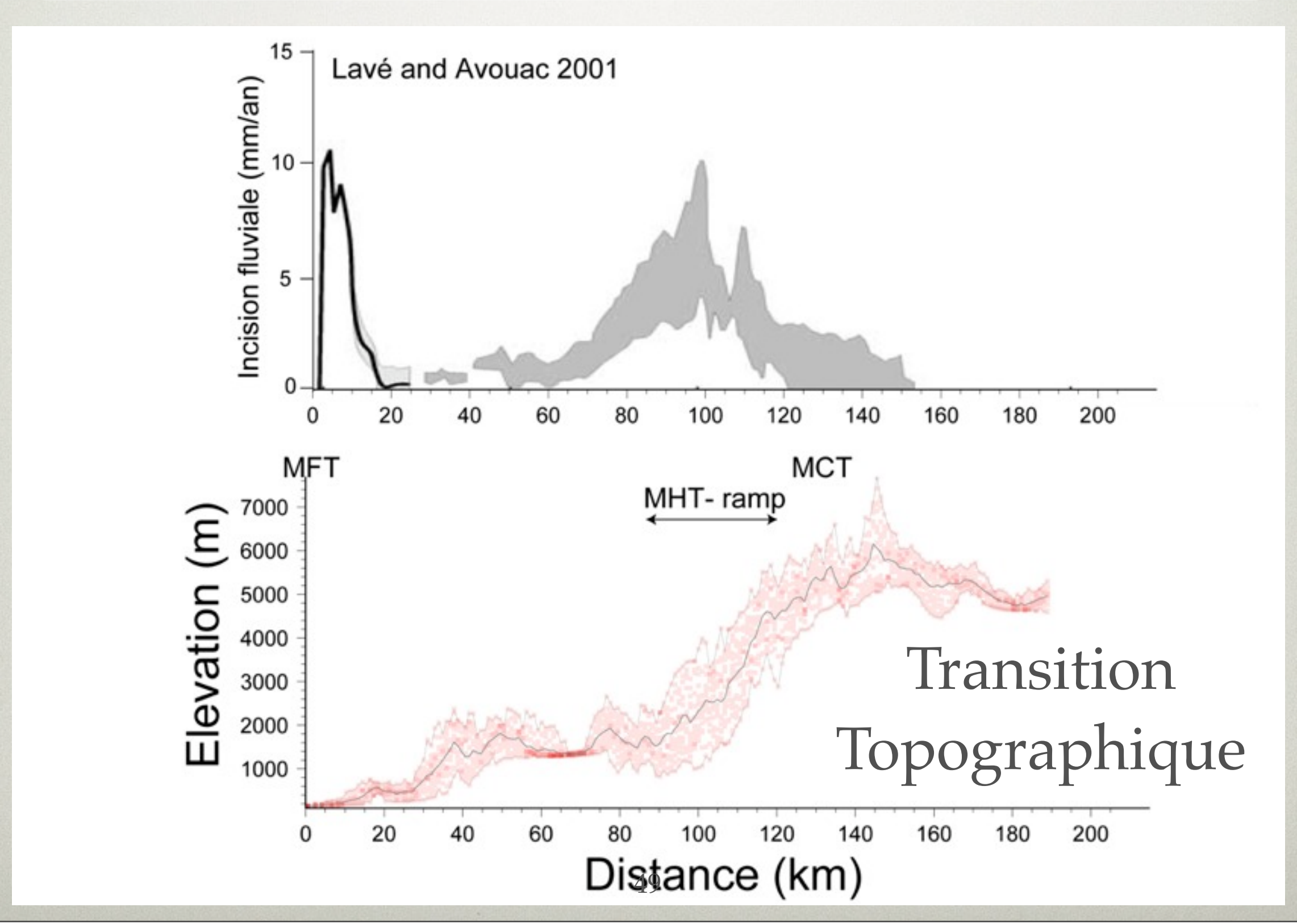
EXEMPLE 1: HIMALAYA



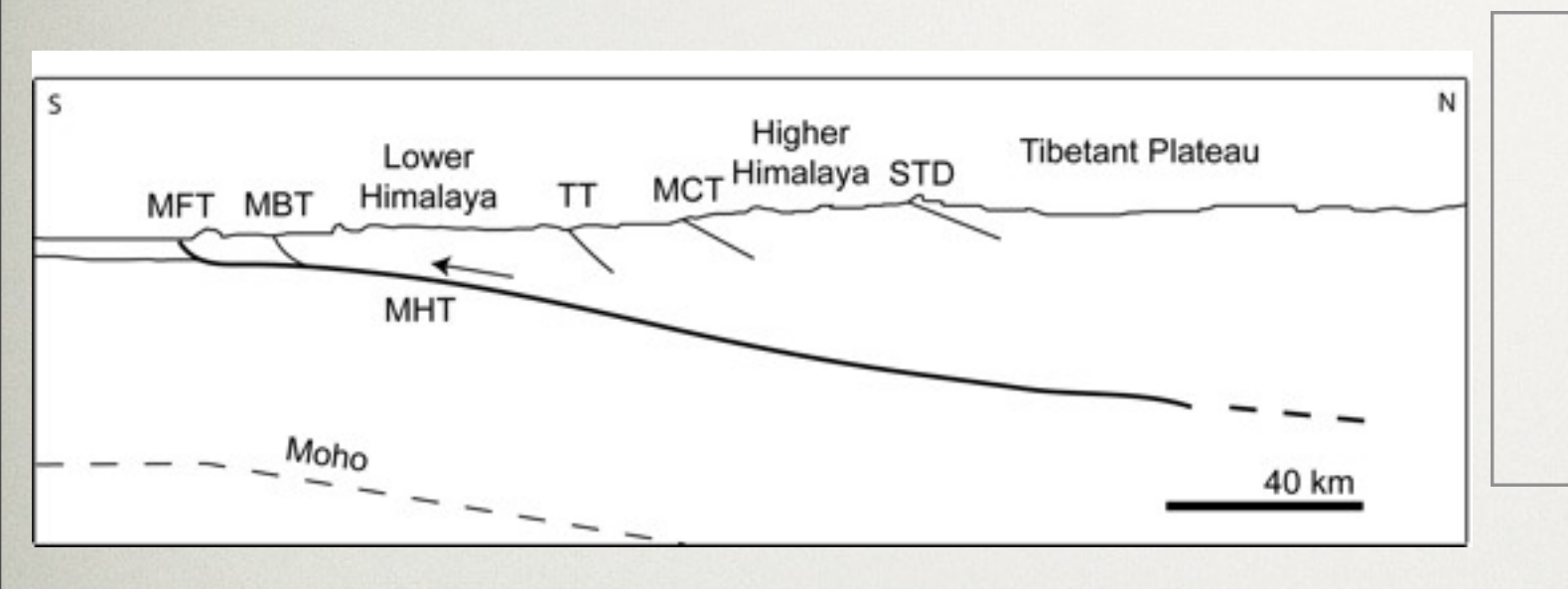
Népal central



EXEMPLE 1: HIMALAYA, COUPE TOPO

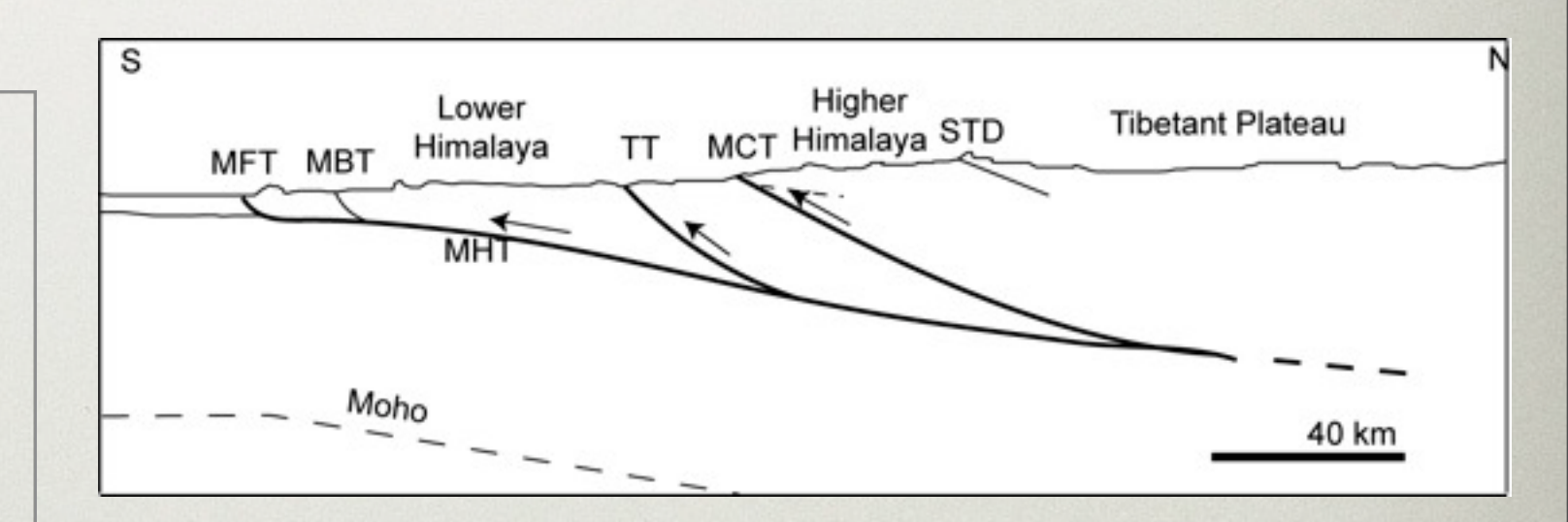


EXEMPLE 1: HIMALAYA, 2 MODÈLES



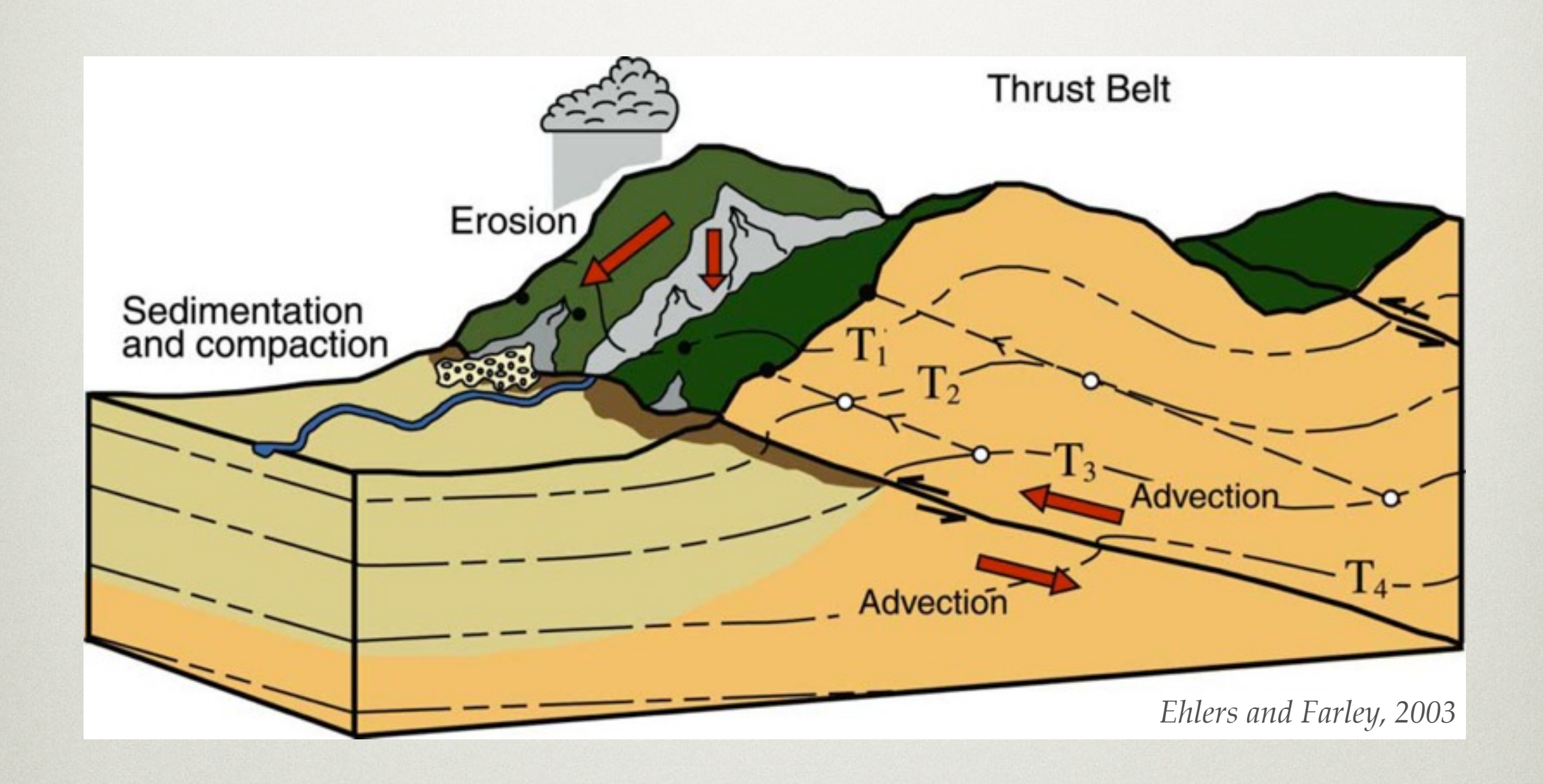
Chevauchement frontal actif (Lave and Avouac, 2001)

Réactivation hors séquence (Hodges et al., 2004)



• Quelle dynamique?

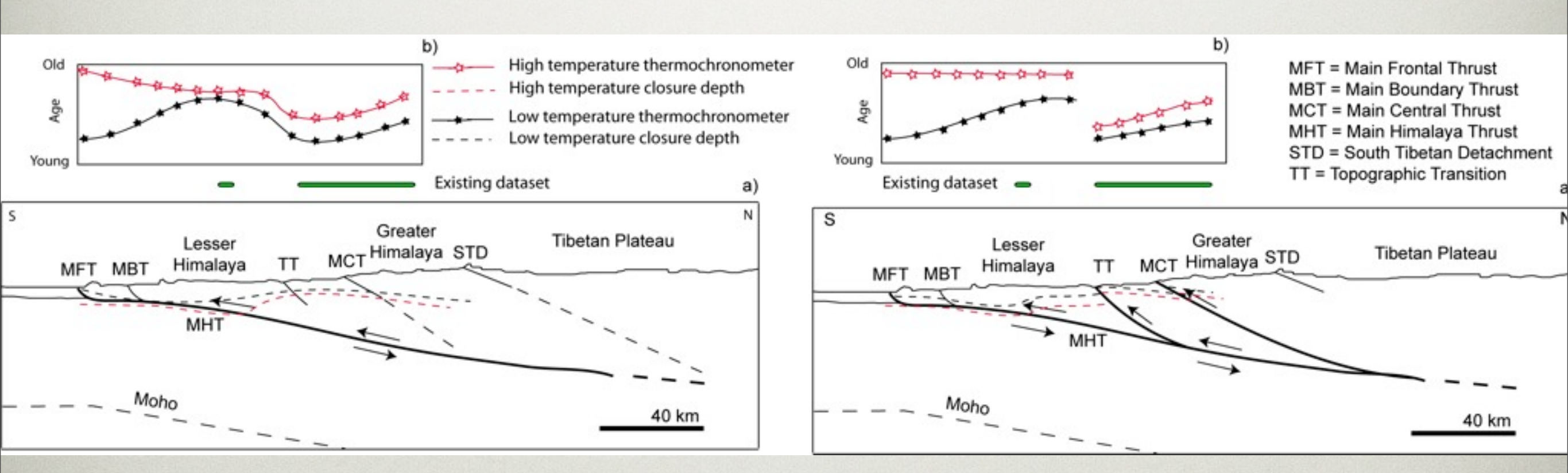
EXEMPLE 1: HIMALAYA



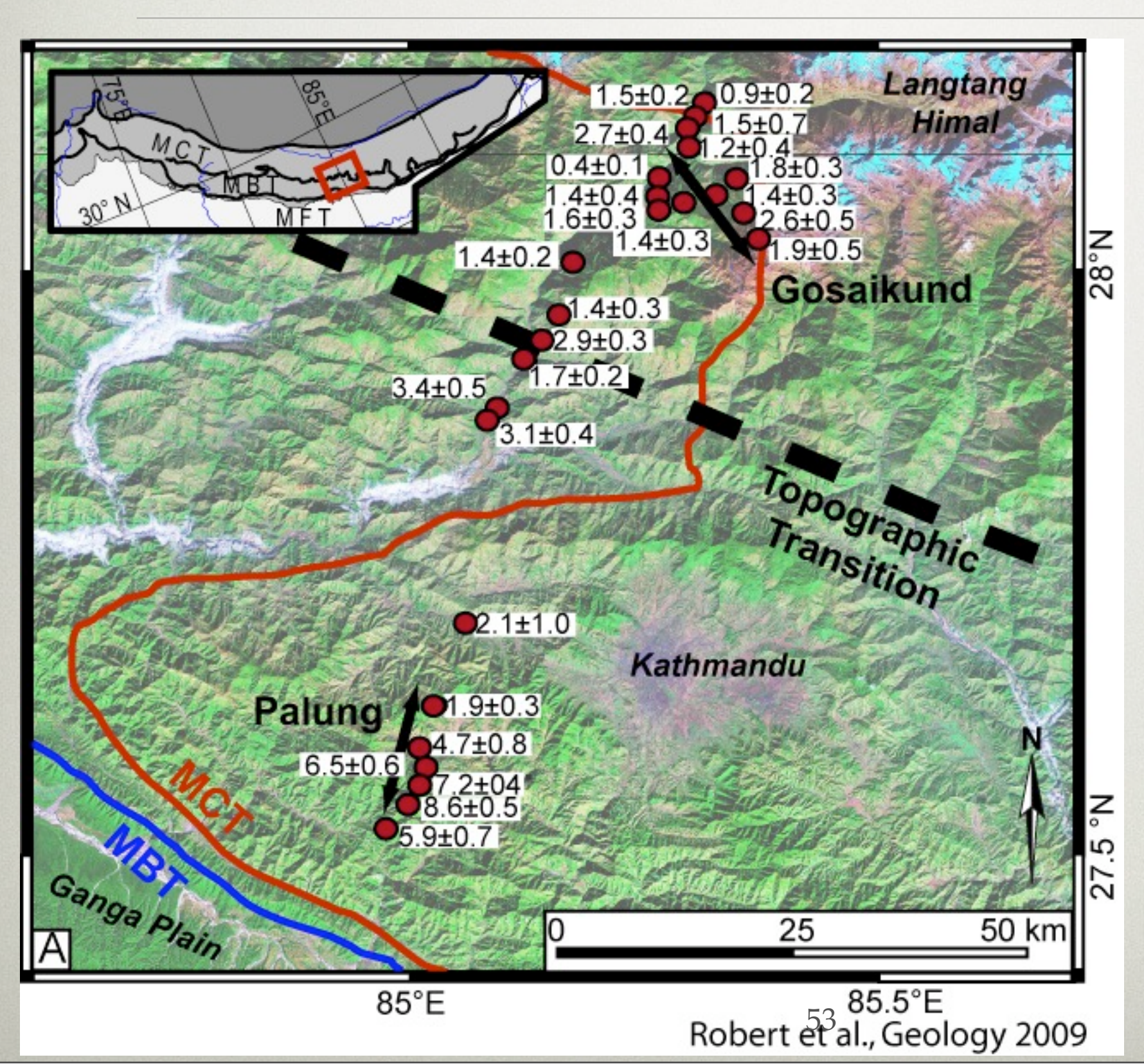
• Trajets Pression- T- Temps

EXEMPLE 1: HIMALAYA

• Comment résoudre le problème ?

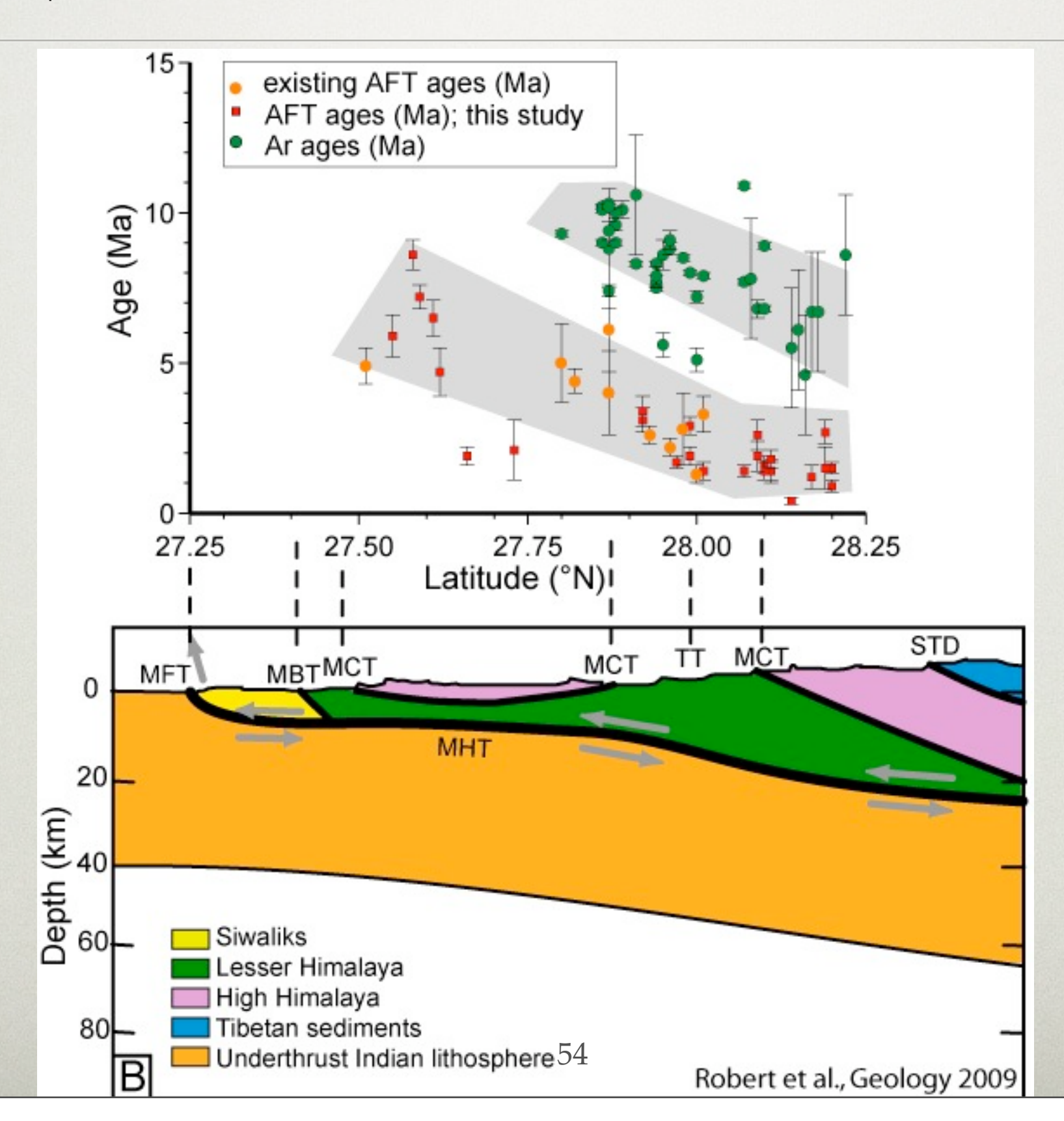


EXEMPLE 1: HIMALAYA, DONNÉES

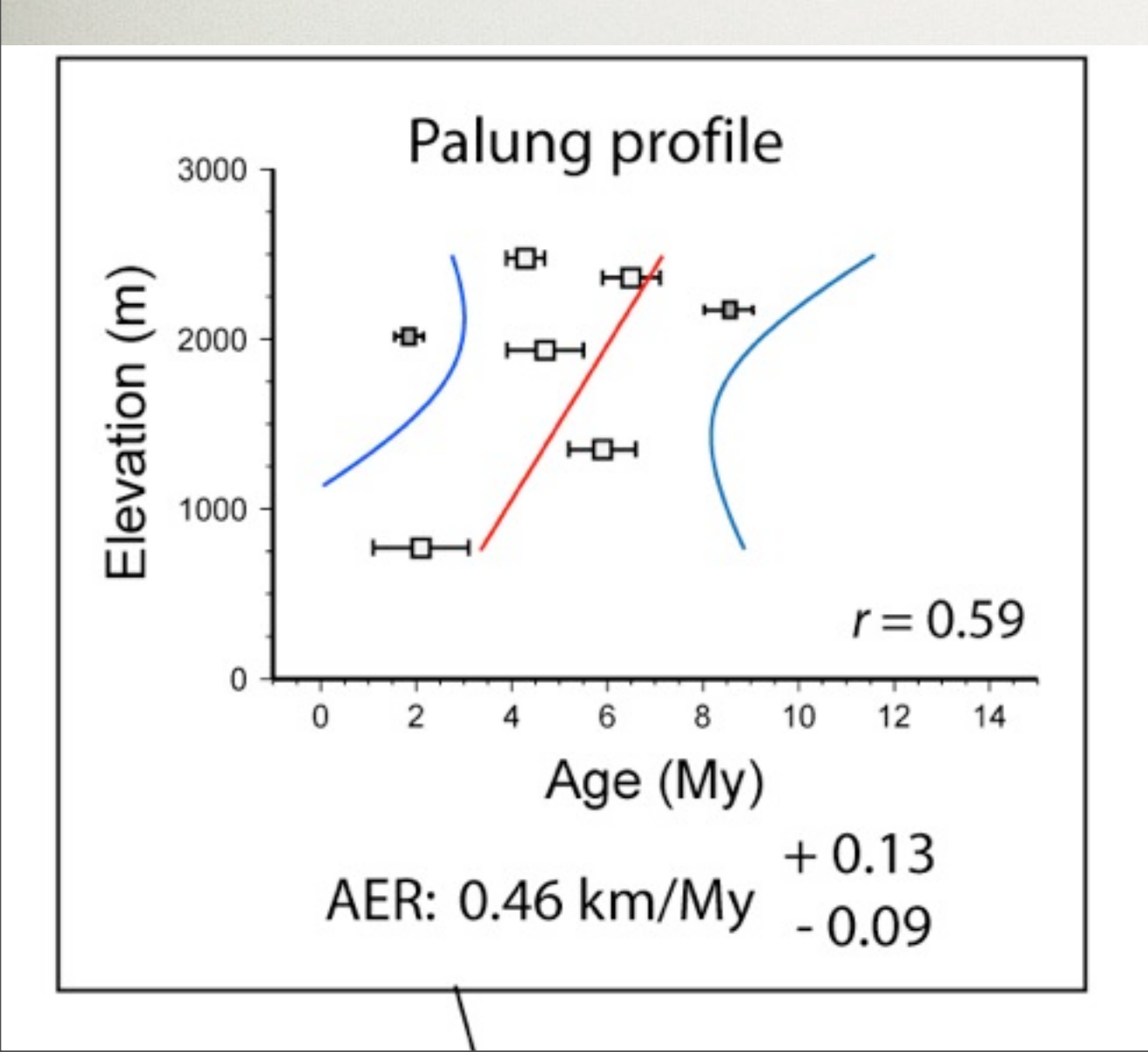


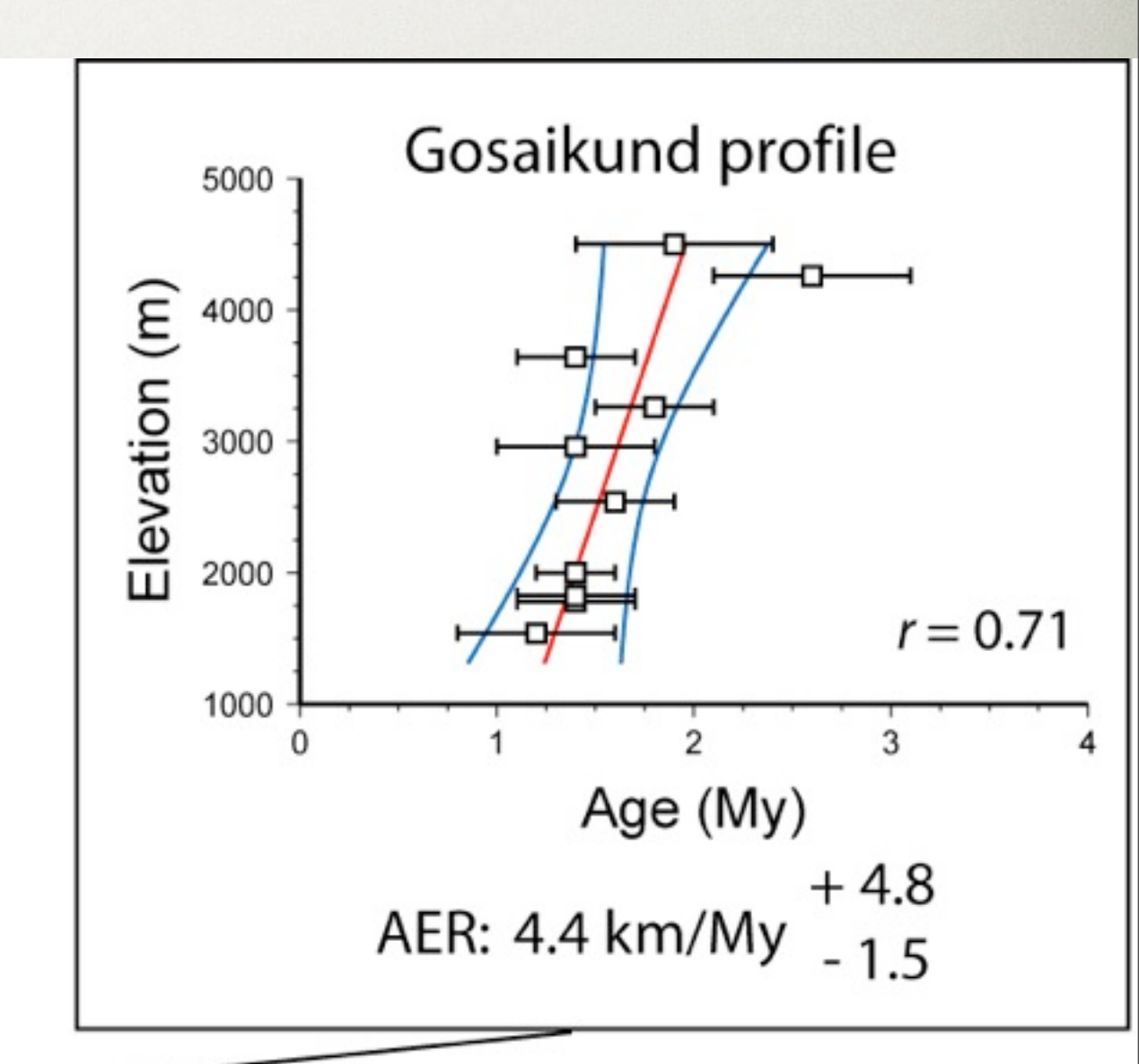
- N:<2Ma
- S:>2Ma
- 2 profils âges/ altitude

EXEMPLE 1: HIMALAYA



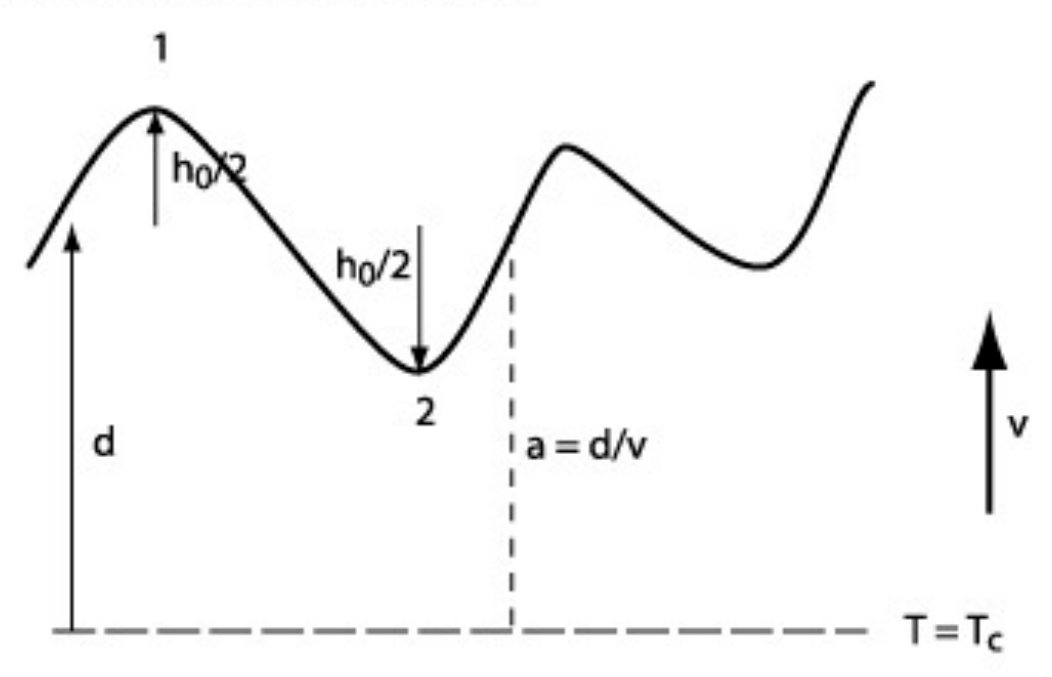
EXEMPLE 1: HIMALAYA, PROFIL VERTICAL



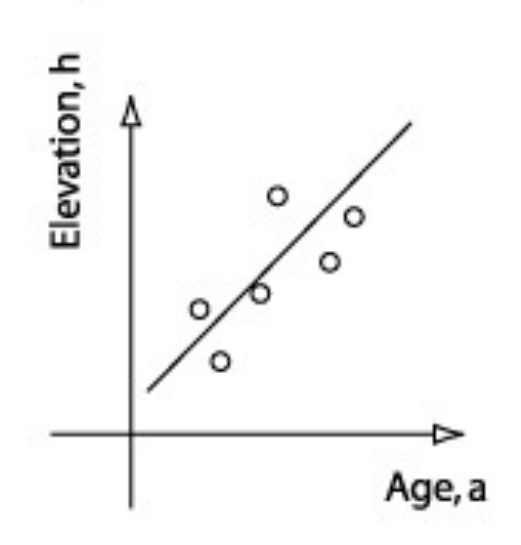


EXEMPLE 1: HIMALAYA, PROFIL VERTICAL

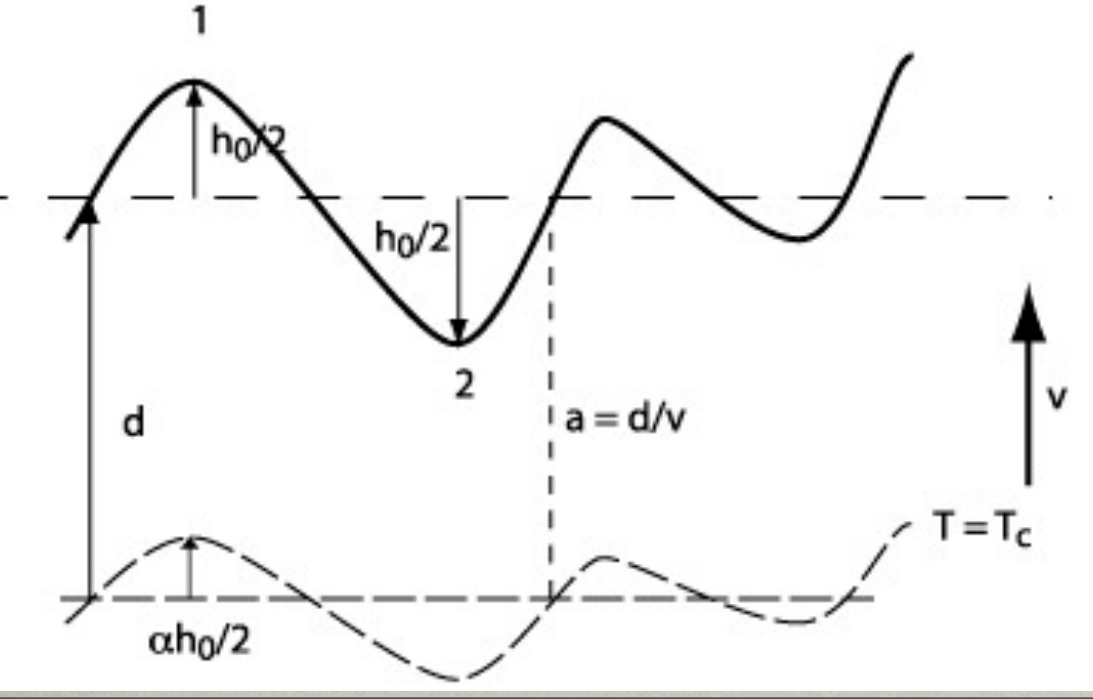
(a) High T_C thermochronometers



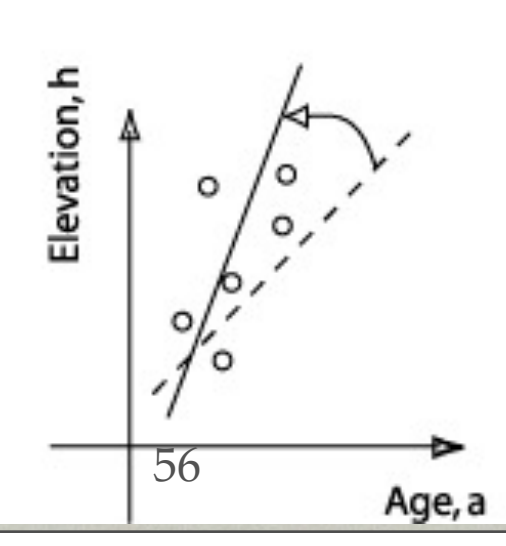
dh/da ~ $h_0/(a_1 - a_2)$ $a_1 = a + h_0/2/v & a_2 = a - h_0/2$ hence, **dh/da = v**



(b) Low T_C thermochronometry



dh/da $\sim h_0/(a_1 - a_2)$ $a_1 = a + h_0(1 - \alpha)/2/v$ $a_2 = a - h_0(1 - \alpha)/2/v$ hence, **dh/da = v/(1 - \alpha)**



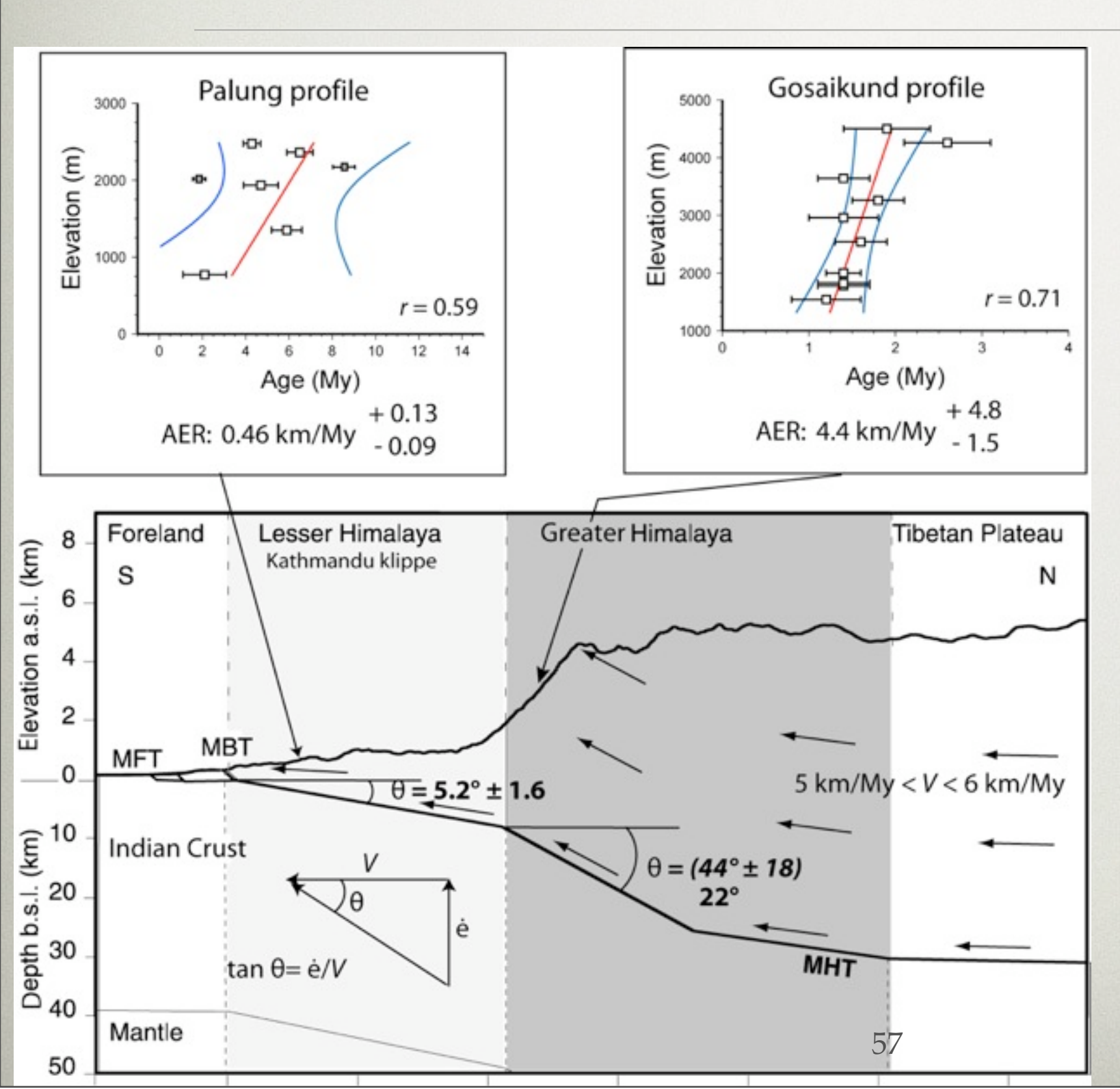
- Profil vertical -->
 Exhumation
- relief important-->

Surestimation!

• ==> Corrections

Braun, 2002

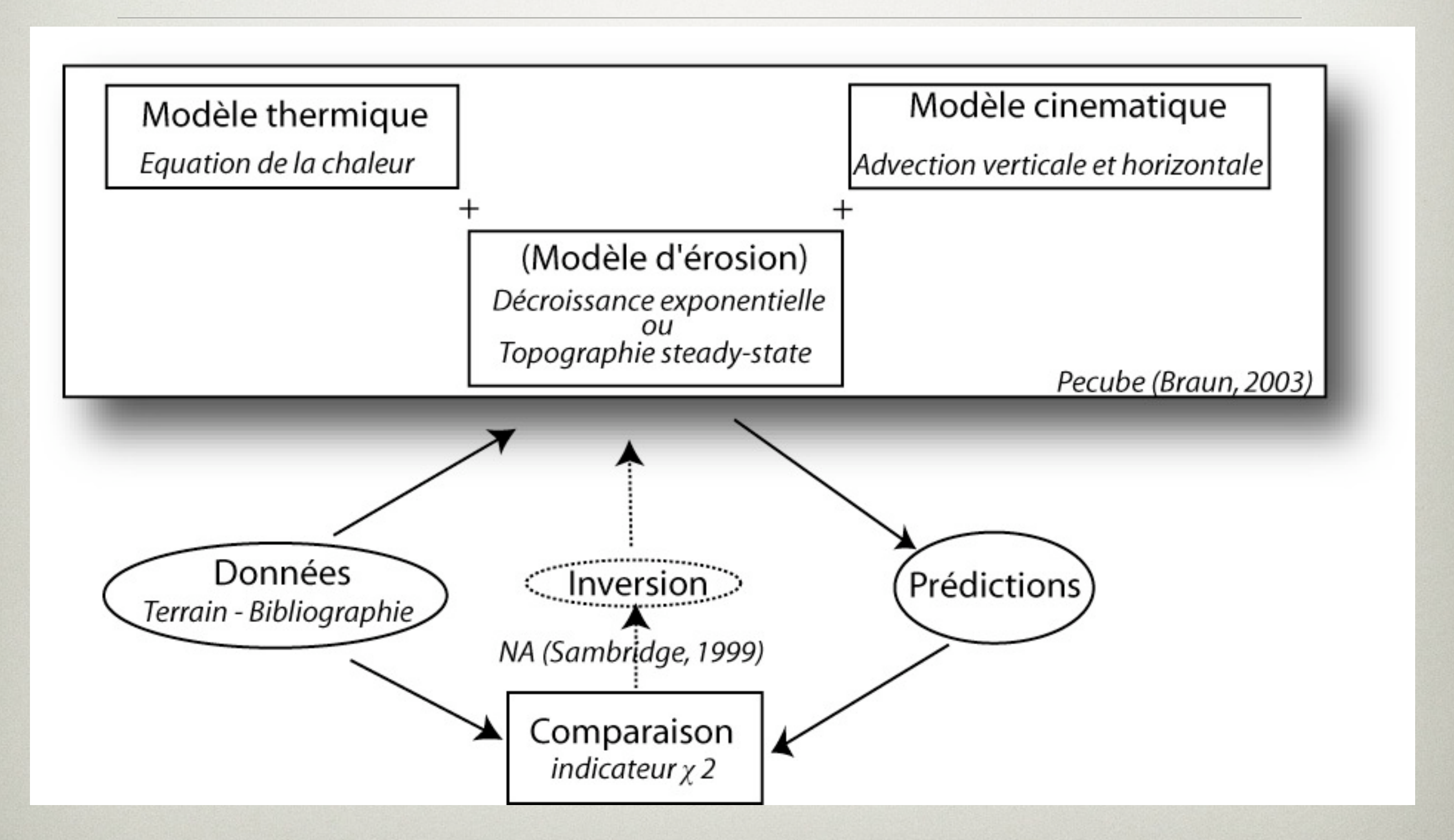
EXEMPLE 1: HIMALAYA, PROFIL VERTICAL



- Exhumation ==>
 composante verticale de la
 vitesse
- Pendange de la faille ==>
 Composante horizontale et verticale
- Hyp: Vhoriz~5/6 km/Ma
- ==> Rampe crustale $\theta = 22^{\circ}$
- ==> Plat $\theta = 5^{\circ}$

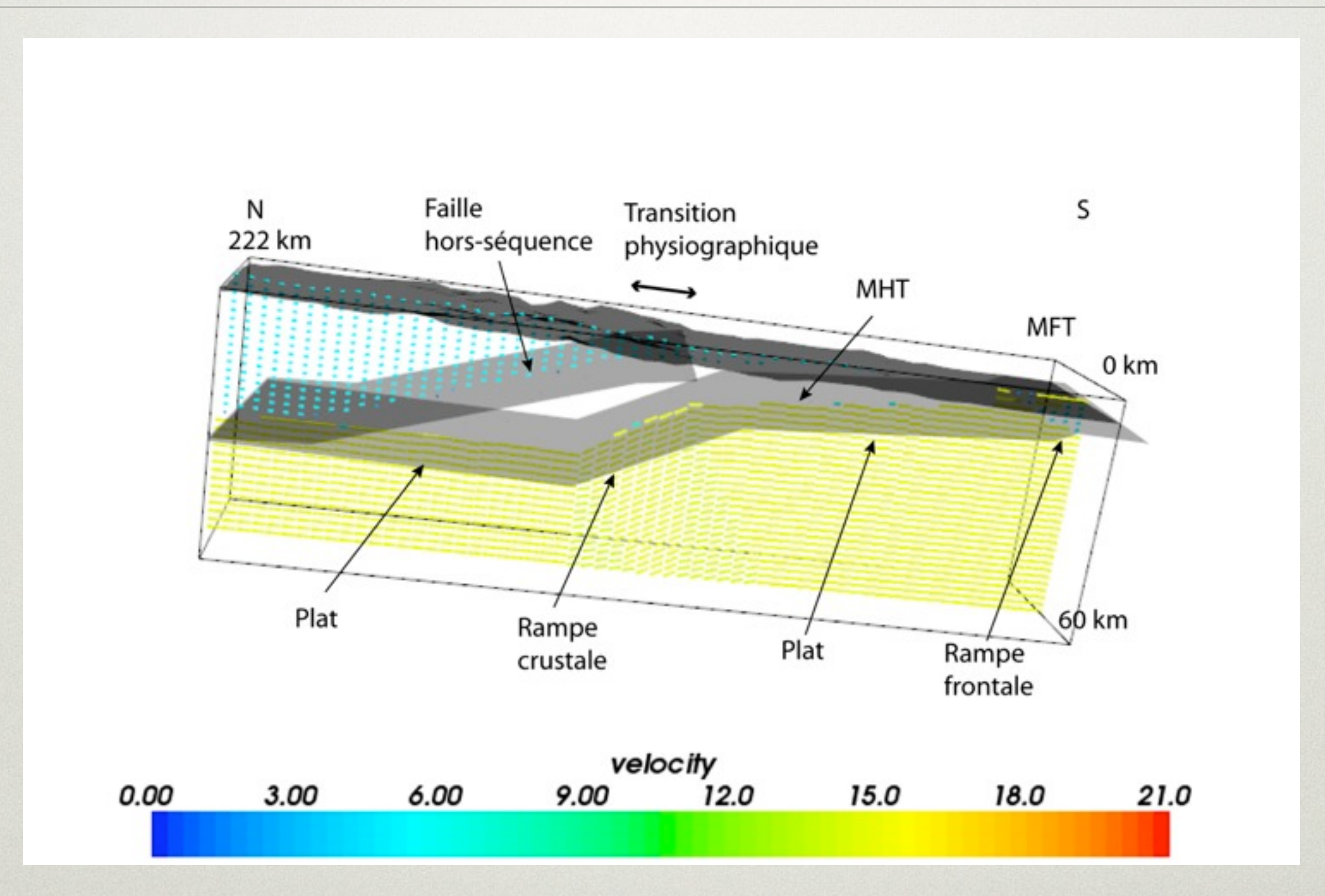
Thursday, 3 February 2011

EXEMPLE 1: HIMALAYA, MODÉLISATION



Paramètres: Vitesse de hors séquence et géométrie

EXEMPLE 1: HIMALAYA, MODÉLISATION



- Convergence = 21 km/Ma
- Underthrusting = 15 km/Ma; gyerthrusting = 6 km/Ma

EXEMPLE 1: HIMALAYA, INVERSION

$$misfit = \frac{1}{n} \sqrt{\frac{\sum_{i=1}^{n} (\frac{O_i - P_i}{\Delta O_i})^2}{\frac{1}{2}}}$$

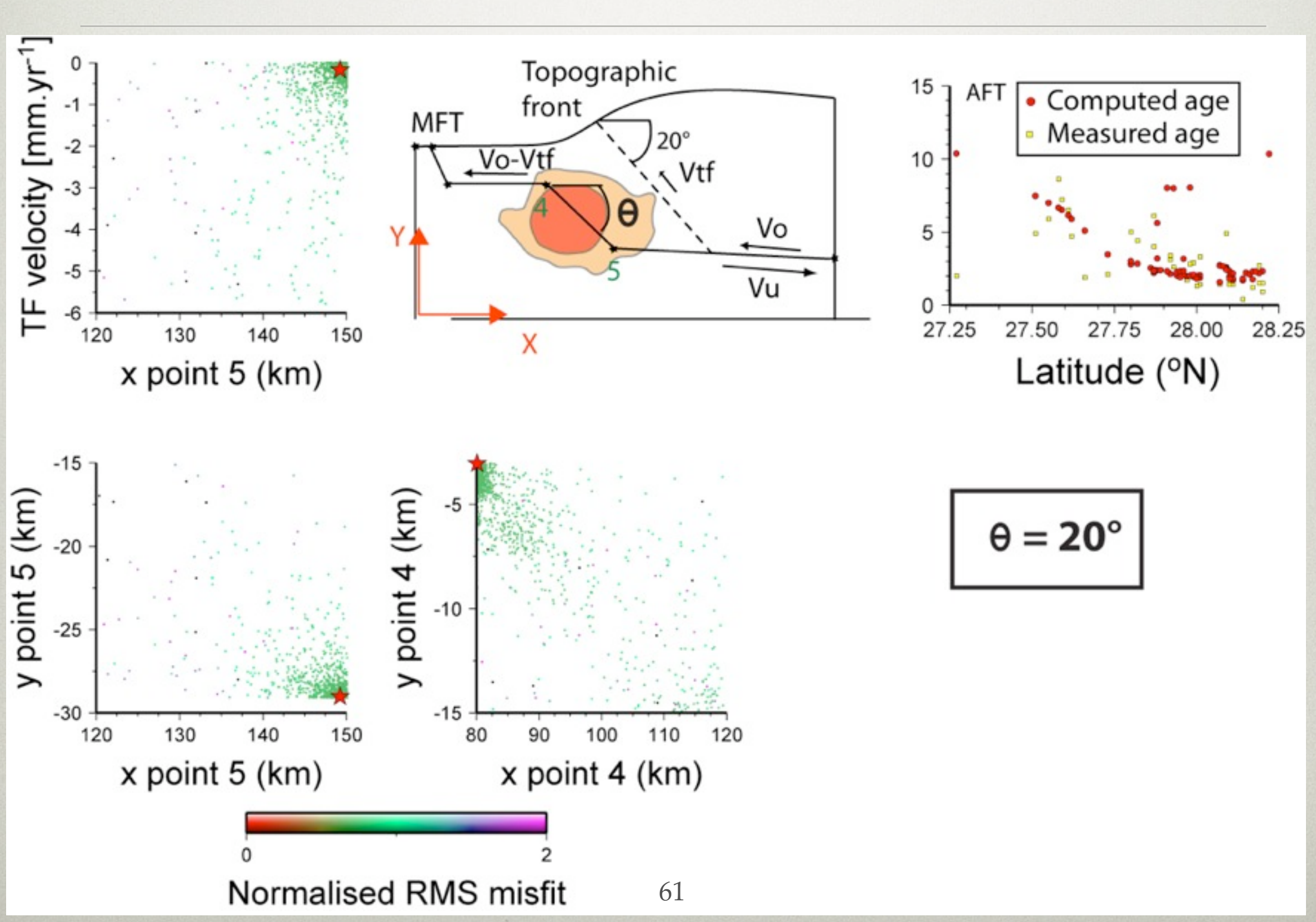
O = vecteur Observations

P = vecteur Prédictions

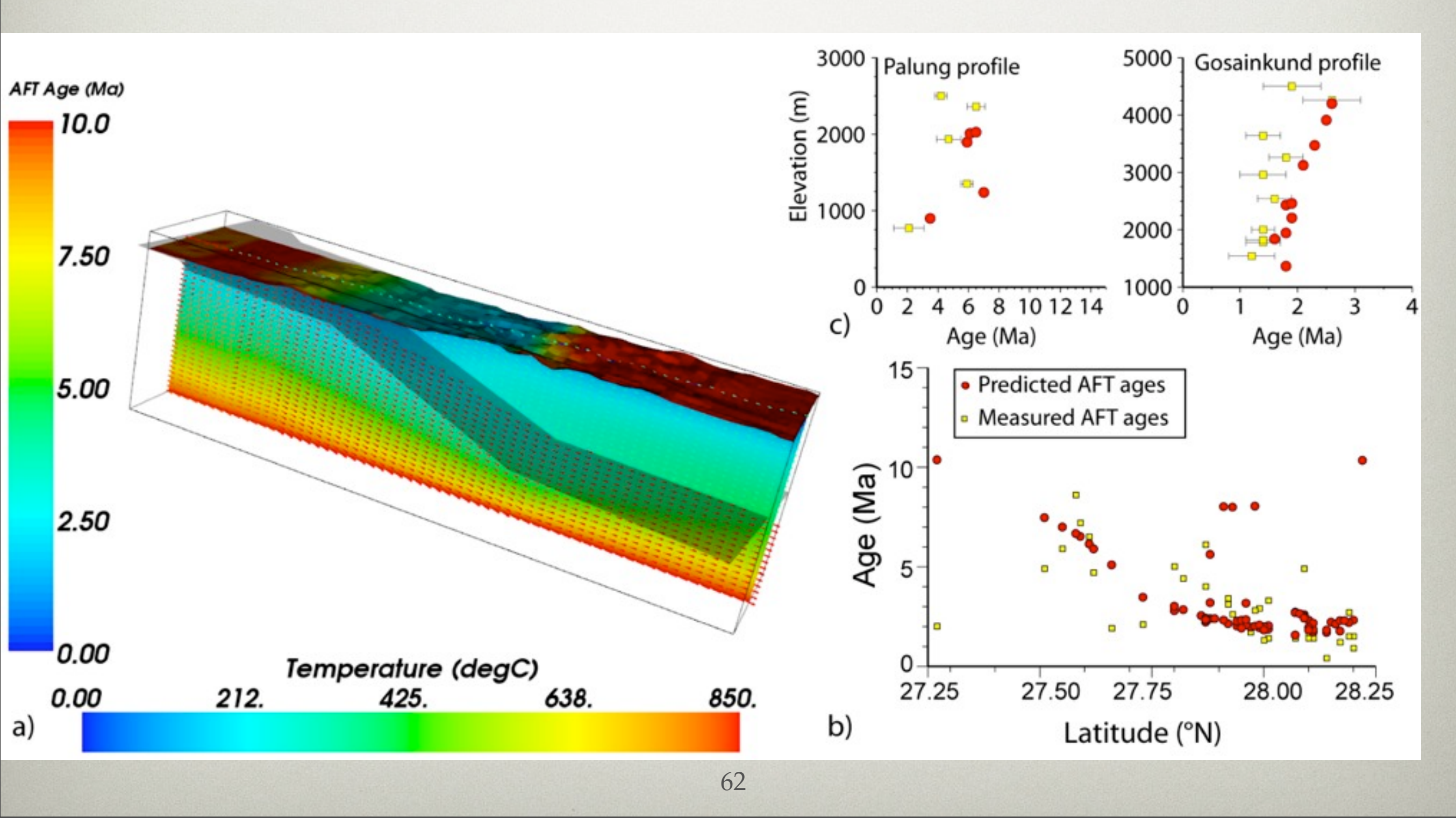
n = dimensions de O, nombre de données

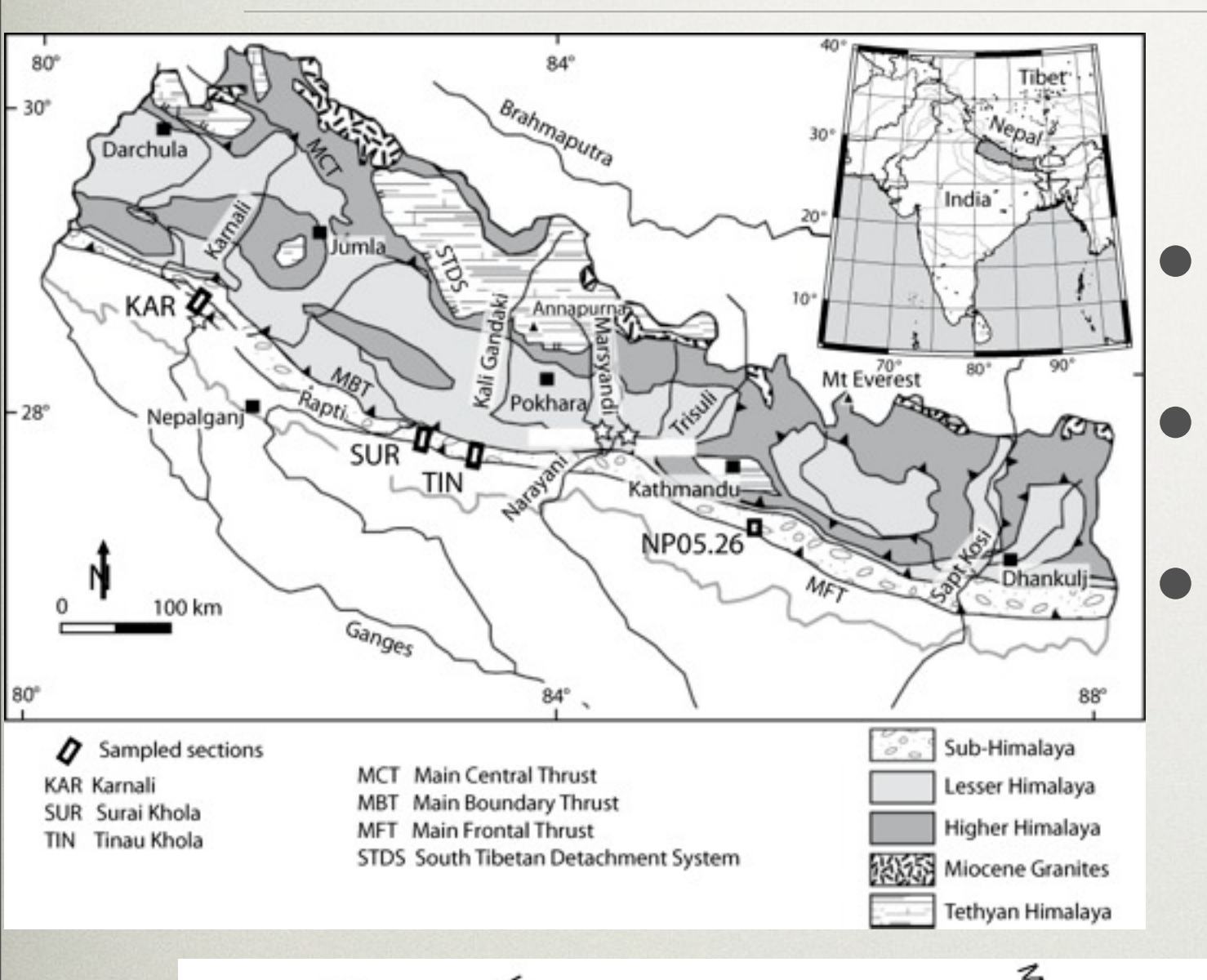
 ΔO = vecteur erreurs observées

EXEMPLE 1: HIMALAYA, INVERSIONS

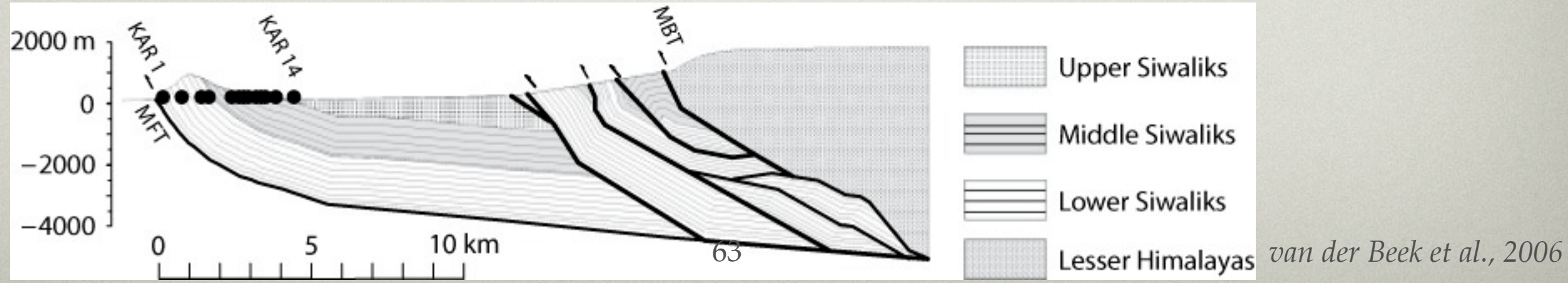


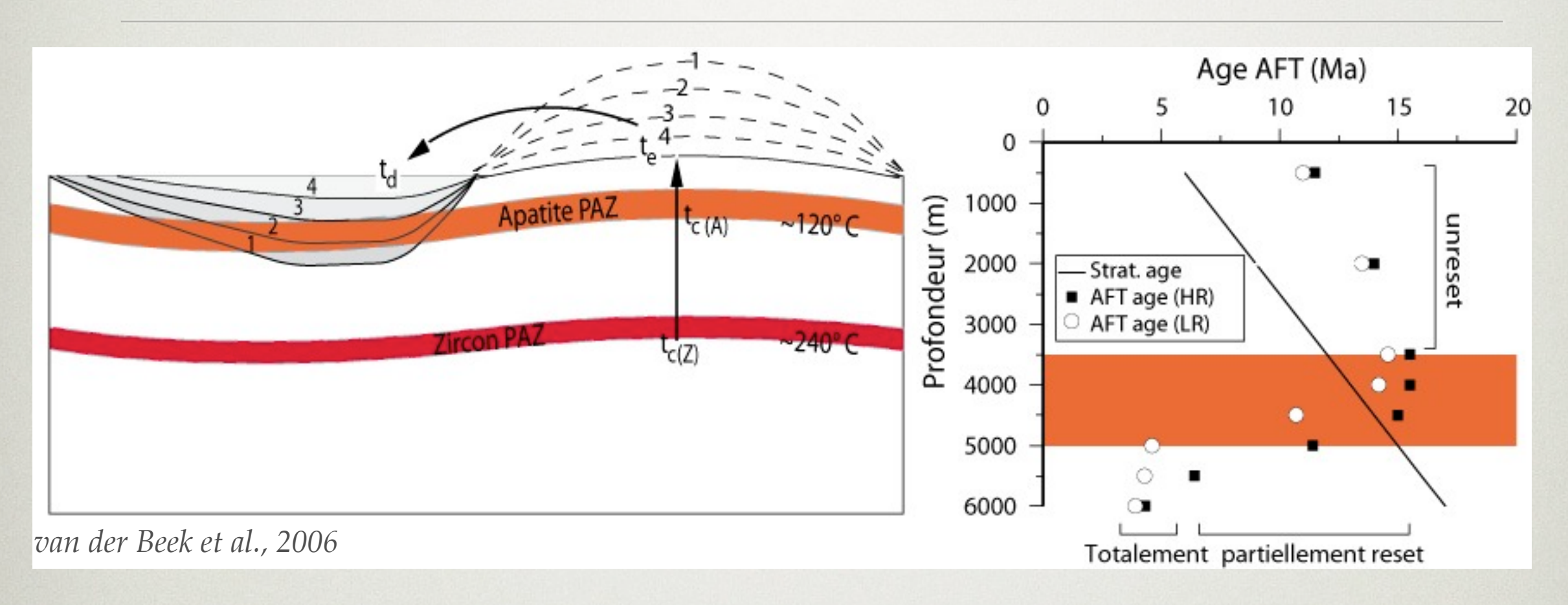
EXEMPLE 1: HIMALAYA



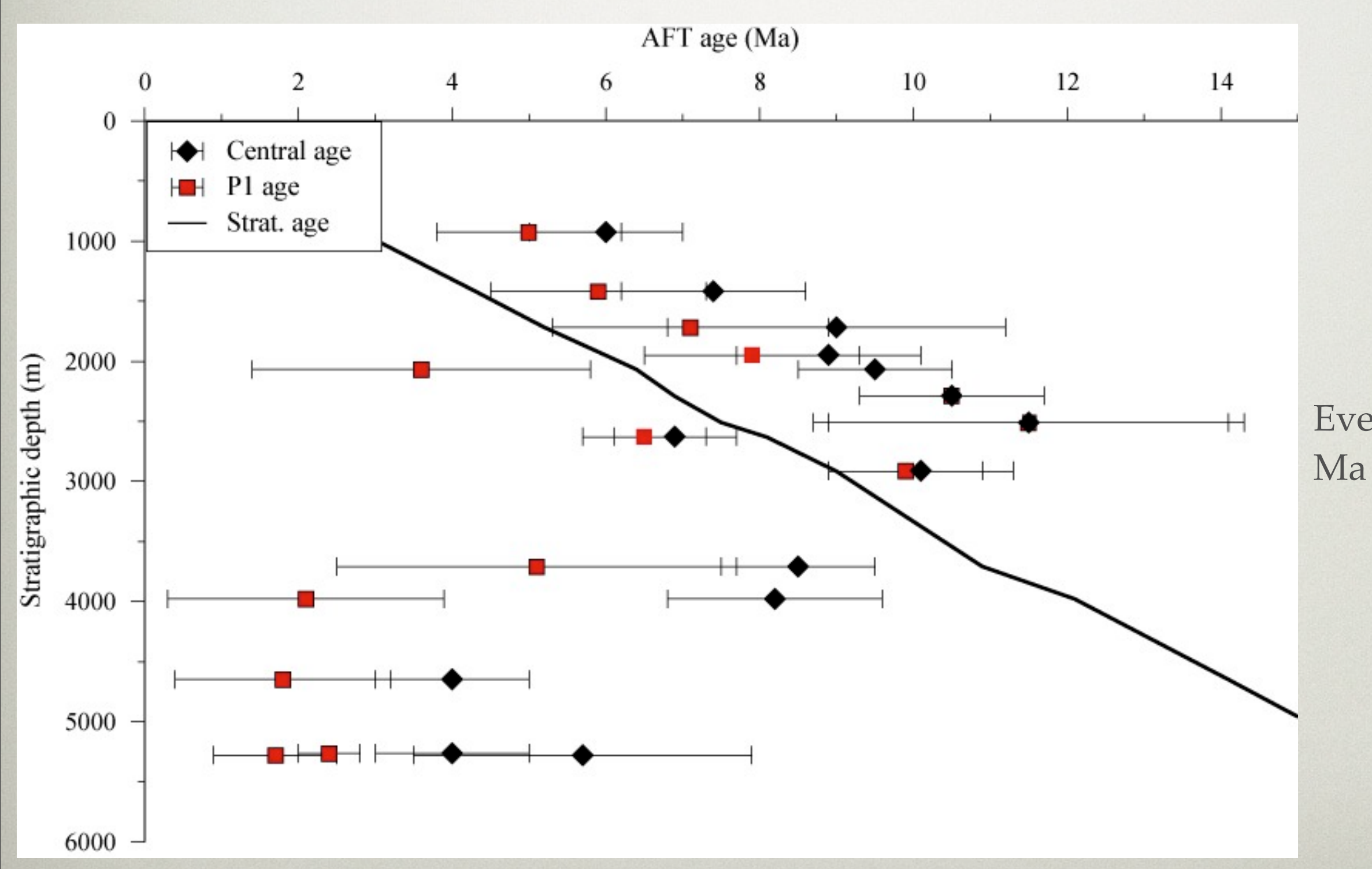


- Karnali River (Siwaliks)
- Coupes équilibrées
- Datation Magnétostratigraphique

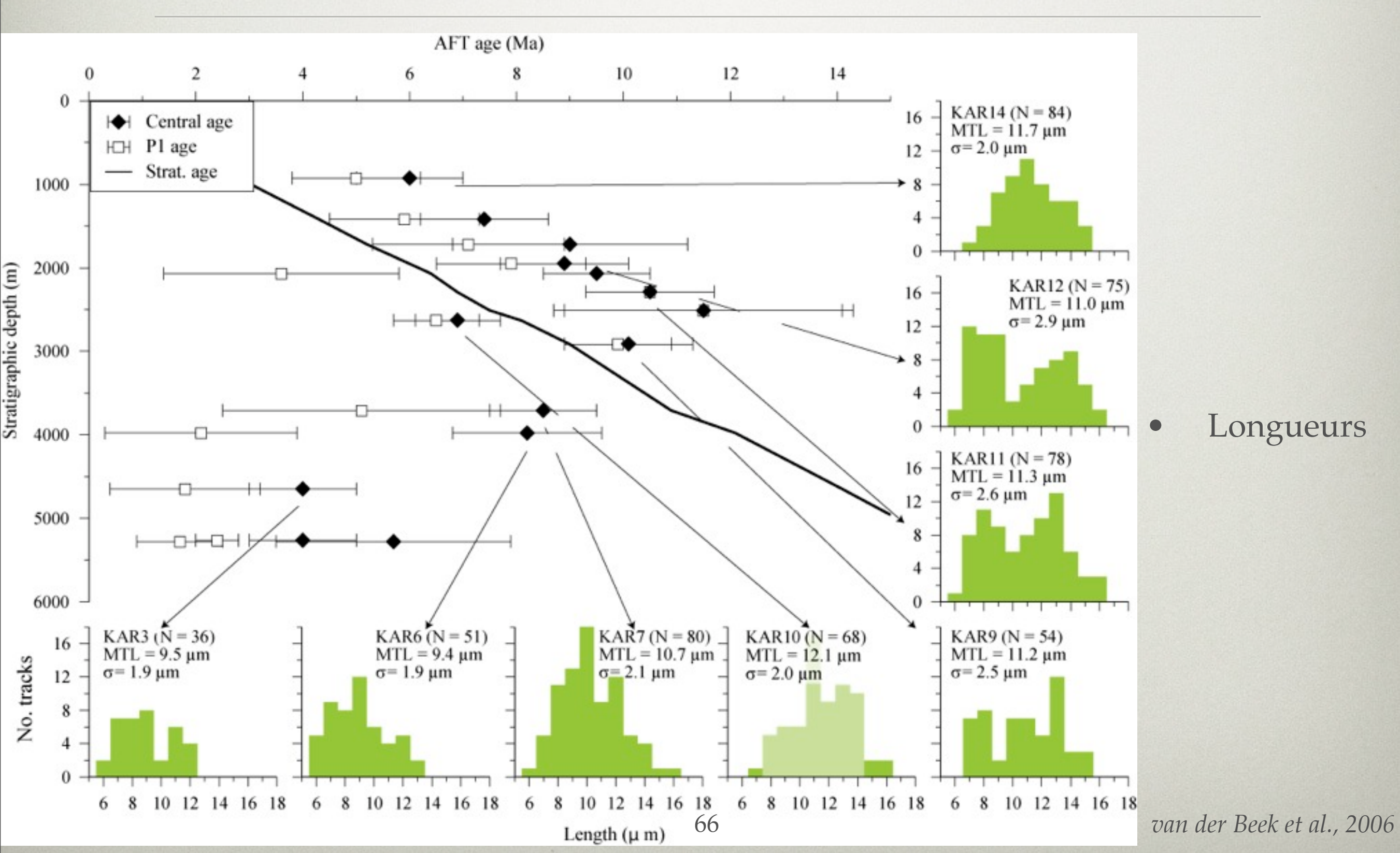




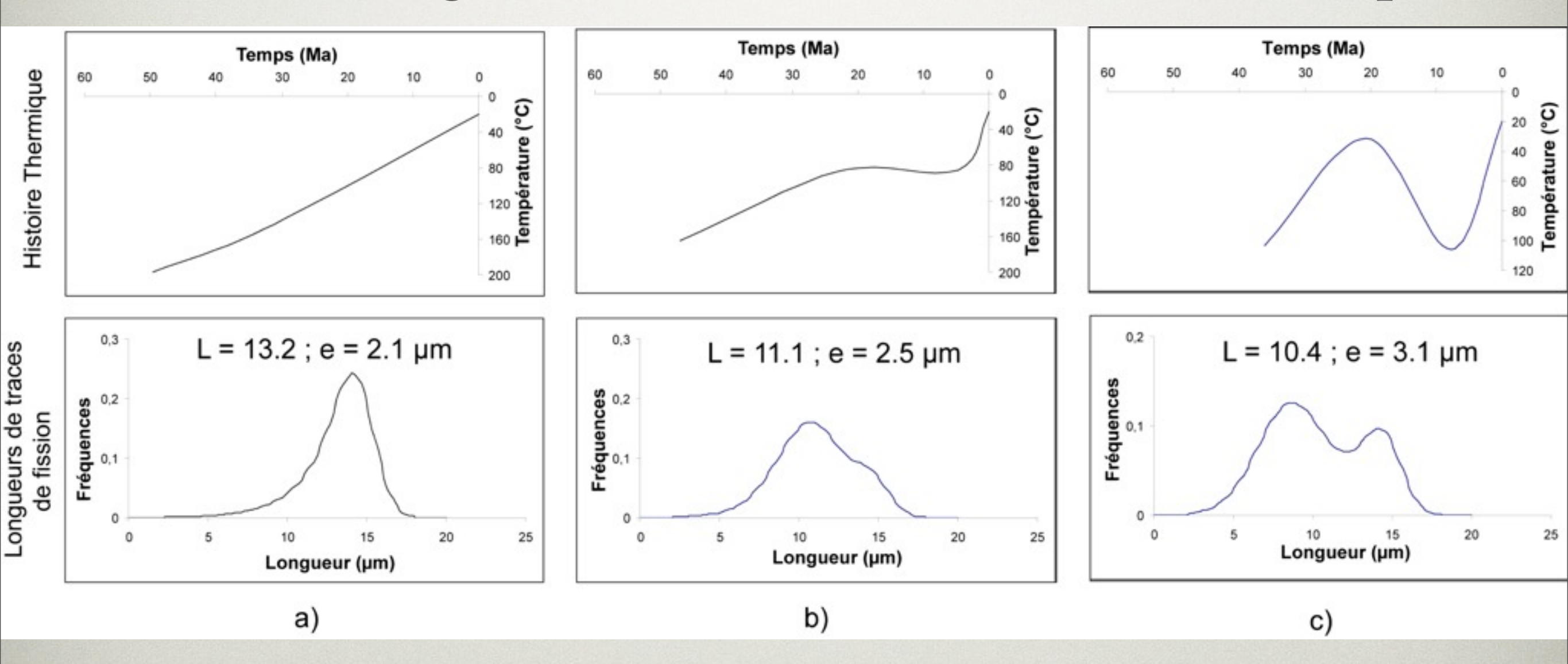
- Exhumation => Age de la source
- Erosion => Dépôt => Recuit
- Cinétiques de recuits différentes =>
 Composante sédimentaire + composante source



Evenement à 2 Ma

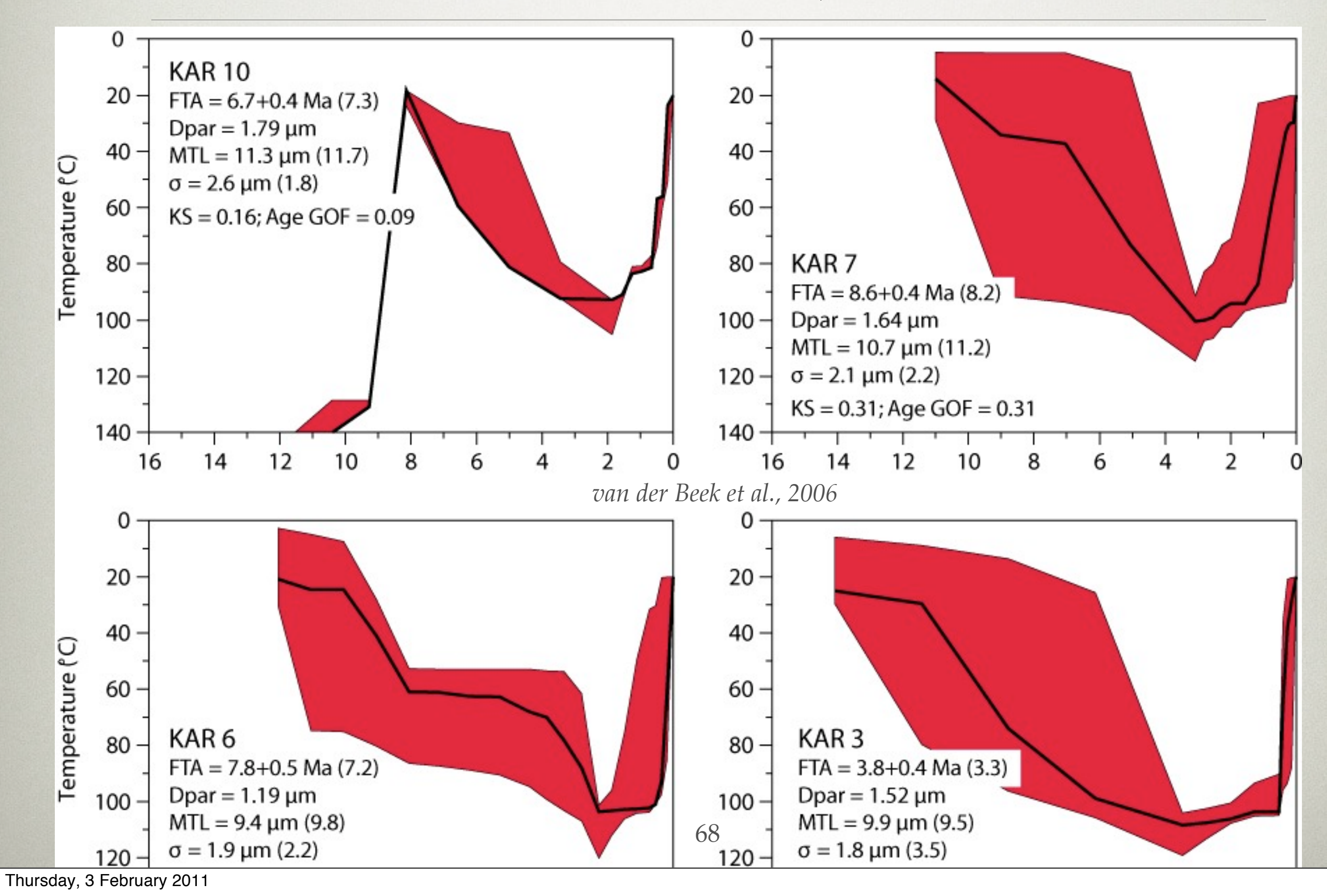


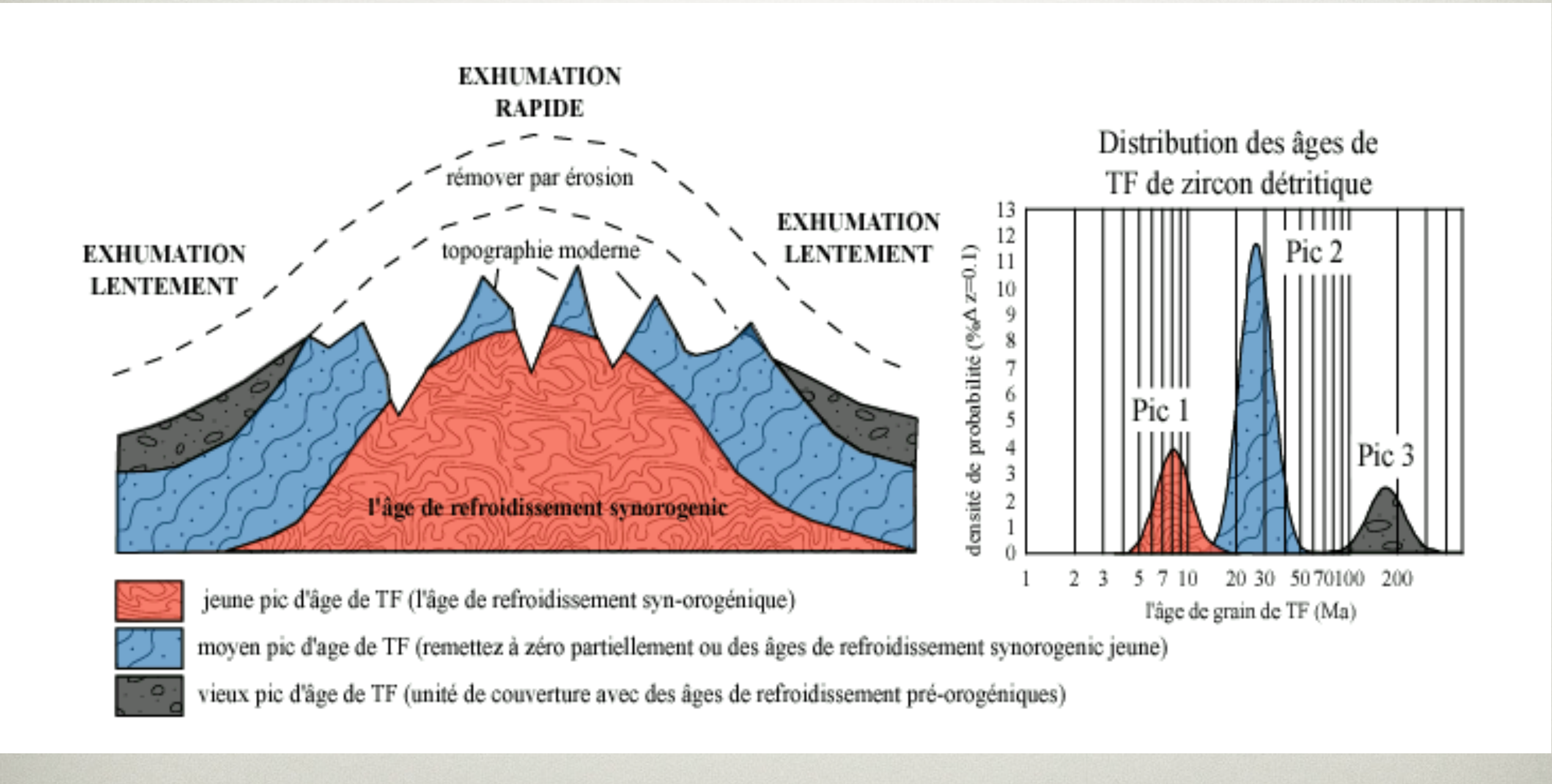
Relation longueurs de traces et histoire thermique



Chaque histoire: AFT=20 Ma

==> Modélisation! (K@tcham 2000, AFTsolve)





- Etude de l'évolution du Relief (Bernet et al., 2006)
- Notion de Lagtime = âge TF âge de dépôt
- Double datation U-Pb + ZFT



SYNTHÈSE

- Outil puissant pour étude de:
 - Evolution du relief
 - Taux d'exhumation
 - Processus (érosion, tectonique,...)
- A coupler avec de la modélisation numérique
 - Pour stratégie d'échantillonnage
 - Pour analyse critique des données
 - Pour quantification
- Comme toute technique, un minimum de physique est nécessaire...



- J. Braun, P. van der Beek and G. Batt: Quantitative thermochronology: Numerical methods for the interpretation of Thermochronological Data. Nature Publishing Group, 2006.
- P. Reiners and M. Brandon: *Using Thermochronology to Understand Orogenic Erosion*. Annual Review of Earth Sciences, 34: 419-466, 2006.
- K. Gallagher, R. Brown and C. Johnson: Fission track analysis and its applications to geological problems. Annual Review of Earth Sciences, 26: 519-572, 1998.
- T. Elhers and K. Farley: *Apatite* (*U-Th*)/*He thermochronometry: methods and applications to problems in tectonic and surface processes,* EPSL, 206: 1-14, 2003.
- P. Reiners : *Zircon (U-Th) Thermochronometry*, Reviews in Mineralogy & Geochemistry, 58: 151-179, 2005.
- P. Reiners, T. Elhers and P. Zeitlers: *Past, Present, and Future of Thermochronology*. Reviews in Mineralogy & Geochemistry, 59: 1-18, 2005.